

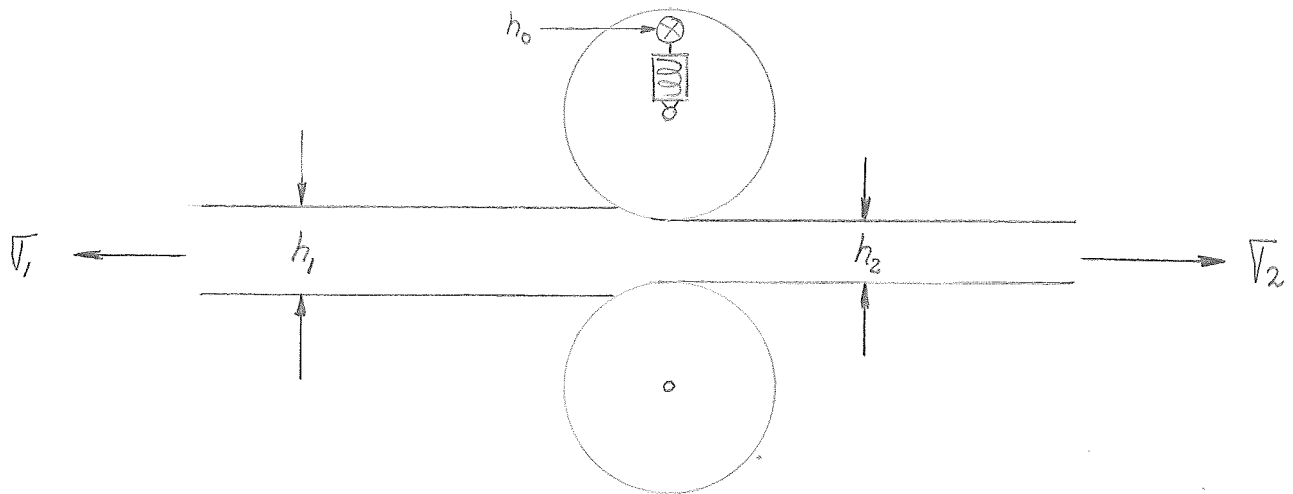
REGLERSYSTEM FÖR KALLBANDVALSVERK (ASEA)

YNGVE ANDERBERG o LEIF HANSSON

Rapport RE - 23 nov. 1967

REGLERING AV BANDVALSVERK.

Skiss över aktuell del av bandvalsverket:



h_0 = önskad plåttjocklek efter valsarna

h_1 = plåttjocklek före valsarna

h_2 = plåttjocklek efter valsarna

σ_1 = dragspänning före valsarna

σ_2 = dragspänning efter valsarna

Problem: Att konstruera reglersystem för ovanstående bandvalsverk där plåttjockleken h_1 är en stokastisk process. Samplat system avses.

Huvudpunkter för examensarbetet:

1. Studera problem och tillgänglig litteratur.
2. Ställ upp enkel diff. ekvation för hela systemet.
Input: h_0 , σ_1 och σ_2 .
Output: h_2 .
Störningar: h_1 och hårdheten i materialet.
3. Simulera på analogmaskin.
4. Studera Con PAC. Läs mätvärden analogt.
5. Betrakta alternativa sätt att beräkna styrlagen.
6. Prova.
6. Skriv rapport.

Leif Hansson E_{4a}

Yngve Anderberg E_{4t}

Innehållsförteckning.

Inledning

Matematisk modell

Process

Störningar

Parametrisk optimering med olika störningsspektra.

De olika överföringsfunktionerna

Minimalvariansstrategin för det samplade systemet.

Sampling av systemet

Härledning av minimalvariansstrategin.

Programmering av strategin på CON-PAC.

Realisering av styrstrategin.

Beräkningstid och minnesbehov.

Simulering av optimala systemet på GE 625

Realisering av styrstrategin och processen

Jämförelse mellan teoretiska och praktiska värden

Översikt.

I detta examensarbete har några reglerproblem för valsverksstyrning studerats.

I kapitel 2 ges en sammanfattning av en matematisk modell, som sedan ligger till grund för de fortsatta beräkningarna. Denna modell är uppställd efter studium av de i examensarbetet angivna referenserna. Valsverkets dynamik ligger i dess motorer, två haspelmotorer och en storskruvsmotor. Insignaler är ingående tjocklek, hårdhet och friktion, varav den första mätes och anses som helt känd medan de senare betraktas som störningar. Utsignal är utgående tjocklek. Störningarna antages vara stokastiska processer med rationella effektspektra.

Vid en förberedande analys antogs givna störspektra för tjockleks- och hårdhetsvariationerna. Regulator med konstanta parametrar ansattes och parametrarna justerades så att utgående spridningen minimerades. Dessa räkningar visade att haspelmotorerna ej skulle användas.

Efter dessa preliminära analyser valde vi ett störspektra vars parametrar bestämdes av vid ASEA gjorda mätningar. För att minimera spridningen i uttjockleken valdes som styrstrategi minimalvariansstrategin. Datamaskinen, som behövdes för strategins genomförande, hade två insignaler, varav intjockleken mättes medan uttjockleken måste predikteras.

Styrstrategin programmerades i PAL-kod för CON/PAC. Av intresse var programmets minnesbehov samt behövlig beräkningstid. Programmet är skrivet i flytande aritmetik, då detta ej förlänger räknetiden. Vi fann att CON/PAC:ens beräkningstid var klart längre än tillgänglig beräkningstid. Sålunda kan processdatamaskinen CON/PAC i det här aktuella utförandet ej användas vid styrning av den angivna processen enligt minimalvariansstrategin.

Då CON/PAC:en var mycket upptagen slutförde vi examensarbetet på datamaskin GE 625 genom att simulera både process och styrstrategi på denna maskin. De erhållna resultaten finns angivna i slutet av kapitel 6 jämte jämförelser mellan teoretiska och praktiska värden på styrningens inverkan på spridningen.

De olika dataprogrammen har bifogats.

Reglersystem för kallbandvalsverk.

Inledning.

Automatisk reglering av kallbandvalsverk är önskvärd av olika skäl. Materialet, som skall valsas, är redan i bandplåtform, erhål- len genom varmvalsning på ett sådant sätt att en ganska stor sprid- ning i bl.a. plåttjockleken och hårdheten föreligger. Kallvalsning sker nu för att reducera plåttjockleken. Om därvid ett reglersystem införes i valsverket, kan kvaliteten förbättras; så kan t.ex. sprid- ningen i bandtjockleken minskas. Vidare kan en ekonomisk synpunkt läggas på regleringen. Reduktion av tjockleken kan nämligen ske gen- om variation av olika variabler, såsom storskruvsinställning och dragspänningar, vilkas variation är olika kostsam.

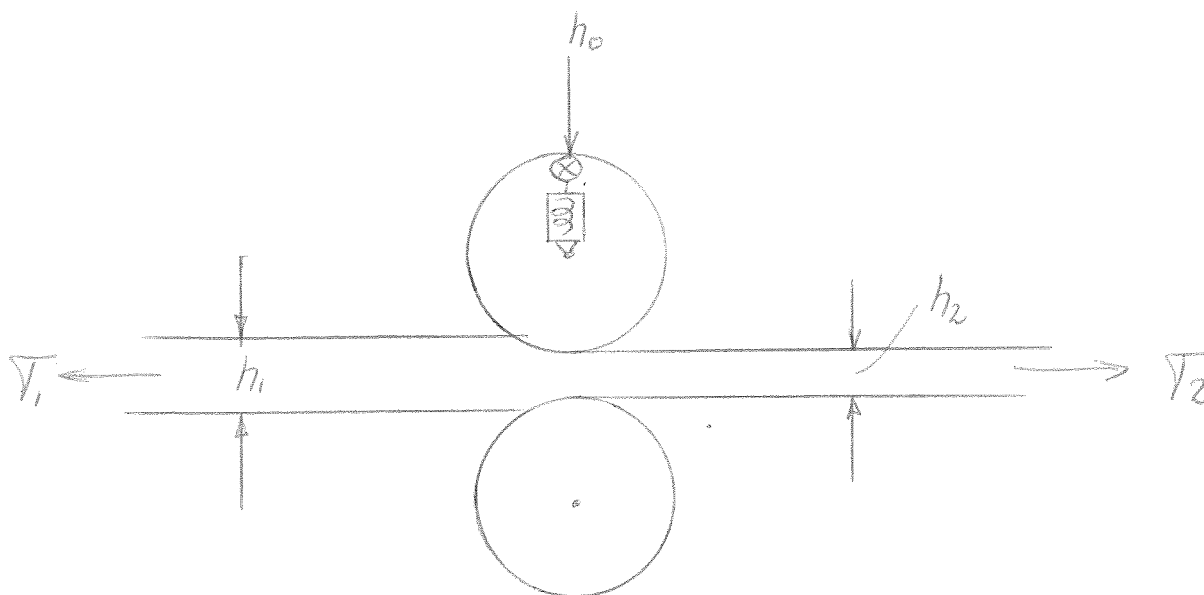
Speciellt intressanta avsnitt vid kallvalsningen är de transienta förloppen vid start och stopp, där en utveckling och förbättring för- modligen skulle kunna medföra stora ekonomiska vinster. Om man bort- ser från de transienta förloppen, är det vid konstant bandhastighet av intresse att spridningen i bandtjockleken minimeras.

Vid föreliggande examensarbete är problemställningen just den sistnämnda, att minimera tjocklekens spridning vid konstant bandhas- tighet. Förutsättningar är alltså att bandet hela tiden framdrives med konstant hastighet av en redan befintlig reglerutrustning, vilken vi ej kommer att beröra, likaså att det föreligger spridning i bl.a. ingående bandtjocklek och hårdhet.

Matematisk modell.

Beskrivning av processen.

Processen:



h_0 = önskad plåttjocklek efter valsarna.

h_1 = plåttjocklek före valsarna.

h_2 = plåttjocklek efter valsarna.

T_1 = dragspänning före valsarna.

T_2 = dragspänning efter valsarna.

s = valsavstånd utan plåt.

μ = friktionskoefficient mellan valsarna och plåten,

γ = hårdheten i plåten.

Förutsättningar: De båda dragspänningarna och valsavståndet, dvs. storskruvens inställning, antages direkt mätbara. Vidare antages att positionsåterkopplad storskruvsmotor och dragåterkopplade dragmotorer, med för de båda återkopplade systemen givna överföringsfunktioner givna, finnes.

Det aktuella valsverket utgöres av ett valspar och två hasplar. Valsningen tillgår så, att bandet köres genom valsarna ett antal gånger till dess önskad plåttjocklek erhållits. Tänkt bandhastighet är c:a 3 m/s. Vi kommer endast att betrakta en körning genom valsarna av bandet, och anser att de övriga genomkörningarna endast utgör en kopia av den betraktade körningen med andra plåtdimensioner och andra spridningar.

Störningar:

Plåttjockleken före valsarna (h_1) betraktas såsom varande sammansatt av dels en konstant tjocklek, dels en variation kring denna konstanta tjocklek. Variationen kommer att betraktas som en i processen inkommande störning. Vidare kommer variationen i bandets hårdhet att betraktas som en störning. Slutligen kommer variationen i friktionskoefficienten mellan valsarna och bandet att betraktas som en störning.

Alla störningarna antages bestå av brus, vars spektraltätheter utgöres av rationella funktioner av $j\omega$, detta för att göra analytiska räkningar genomförbara.

Vi kommer att bortse från störningar orsakade av svetsar i bandet.

Matematisk modell av processen:

Enligt G.F. Bryant^{*} kan för små variationer i dragspänningarna, storskruvsinställningen och inkommande plåttjocklek ändringen i utgående plåttjockleken approximeras med följande lineära ekvation:

$$\Delta h_2 = a_1 \cdot \Delta \nabla_1 + a_2 \cdot \Delta \nabla_2 + a_3 \cdot \Delta s + a_4 \cdot \Delta h_1 \quad .$$

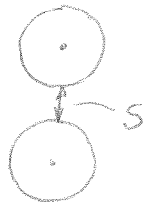
I vårt fall skall även beaktas variationer i utgående plåttjockleken beroende av variationer i friktionen (μ) och i hårdheten (∇). Vi antar att även detta beroende approximativt är ^{linjärt} linjärt. Då fås:

$$\Delta h_2 = a_1 \cdot \Delta \nabla_1 + a_2 \cdot \Delta \nabla_2 + a_3 \cdot \Delta s + a_4 \cdot \Delta h_1 + a_5 \cdot \Delta \nabla + a_6 \cdot \Delta \mu \quad .$$

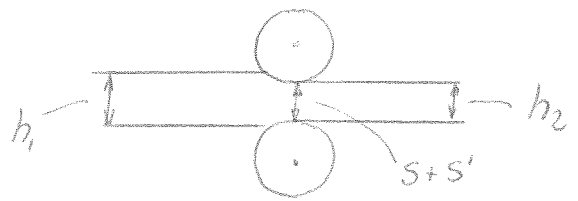
Betraktande av valsarna med och utan plåt, och av de krafter, som uppkommer då plåt införes mellan valsarna, och av uppkommen förändring i valsavståndet, leder till följande ekvationer:

* se ref. nr 1

Utan plåt



Med plåt



s' = Ökning av valsavstånd

$$\begin{cases} h_2 = s + s' \\ s' = K \cdot f_2 \end{cases} \quad K = \text{fjäderkonst. för valshuset.}$$

$$f_1 = f_{kn}(T_1, T_2, h_1, h_2, T, \mu)$$

$$\Delta f_1 = \frac{\partial f}{\partial T_1} \Delta T_1 + \frac{\partial f}{\partial T_2} \Delta T_2 + \frac{\partial f}{\partial h_1} \Delta h_1 + \frac{\partial f}{\partial h_2} \Delta h_2 +$$

$$+ \frac{\partial f}{\partial T} \Delta T + \frac{\partial f}{\partial \mu} \Delta \mu$$

$$f_2 = \frac{1}{K} \cdot s' = \frac{1}{K} (h_2 - s) \Rightarrow$$

$$\Delta f_2 = \frac{1}{K} \Delta h_2 - \frac{1}{K} \Delta s$$

$$\Delta f_1 = \Delta f_2 \Rightarrow$$

$$\Delta h_2 = \frac{K \cdot \frac{\partial f}{\partial T_1}}{1 - K \frac{\partial f}{\partial h_2}} \Delta T_1 + \frac{K \cdot \frac{\partial f}{\partial T_2}}{1 - K \frac{\partial f}{\partial h_2}} \Delta T_2 + \frac{1}{1 - K \frac{\partial f}{\partial h_2}} \Delta s +$$

$$+ \frac{K \cdot \frac{\partial f}{\partial T}}{1 - K \frac{\partial f}{\partial h_2}} \Delta T + \frac{K \cdot \frac{\partial f}{\partial \mu}}{1 - K \frac{\partial f}{\partial h_2}} \Delta \mu + \frac{K \cdot \frac{\partial f}{\partial h_1}}{1 - K \frac{\partial f}{\partial h_2}} \Delta h_1$$

$$\Delta h_2 = a_1 \Delta T_1 + a_2 \Delta T_2 + a_3 \Delta s + a_4 \Delta h_1 + a_5 \Delta T +$$

$$+ a_6 \Delta \mu ;$$

Jämförelse mellan ovanstående ekvationer ger de olika α -konstanterna uttryckta i partiella derivator, som kan erhållas ur formel enligt W.L. Roberts* för vals kraften:

$$F = \left[\frac{\alpha \cdot \sqrt{\frac{D}{E}} + \sqrt{\frac{\alpha^2 D}{E} + \sqrt{8Dt}r \left(\frac{1}{\bar{\sigma}_c} - \frac{\alpha^2 \mu D(2-r)}{2Et(1-r)} \right)}}{2 \left(\frac{1}{\bar{\sigma}_c} - \frac{\alpha^2 \mu D(2-r)}{2Et(1-r)} \right)} \right]^2$$

D = arbetscylindrarnas diameter.

t = plåttjockleken före valsarna (= h_1).

r = reduktionen (= $(h_1 - h_2)/h_1$)

$\bar{\sigma}_c = 1,15 \cdot \bar{\sigma}_{Y(r/2)} - \bar{\sigma}_T$ enligt W.L. Roberts*.

$\bar{\sigma}_T = (\bar{\sigma}_1 + \bar{\sigma}_2 \cdot (1-r)) / (2-r)$ enligt W.L. Roberts* .

$\bar{\sigma}_1$ = dragspänning före valsarna.

$\bar{\sigma}_2$ = dragspänning efter valsarna.

$\bar{\sigma}_c$ = " the resultant compressive yield strength".

$\bar{\sigma}_Y$ = "the tensile yield strength".

μ = friktionskoefficienten mellan plåt och valsar.

E = elasticitetsmodulen.

α = dimensionslös konstant (1,08) enligt W.L. Roberts*.

$\bar{\sigma}_Y(r) = \bar{\sigma}_{Y0} + A_1 \cdot r + A_2 \cdot \sqrt{r}$ enligt W.L. Roberts* .

Genom att i ovanstående formel insätta värden på de ingående storheterna, och i tur och ordning variera en variabel medan de övriga hålles konstanta, kan man ungefär få fram de partiella derivator man är intresserad av.

Med hjälp av datamaskin (Con - Pac) realiserades formeln med följande aktuella värden:

D = 100 mm

E = 20.000

α = 1,08

$\bar{\sigma}$ = 50 kp/mm²

A₁ = 10

A₂ = 0

Kraften är uträknad per mm valsbredd. Följande tabell erhöles:

* se ref. nr 2

t	r	μ	∇_1	∇_2	F
1,0	0,20	0,08	4,0	5,0	242,81445
0,9	0,20	0,08	4,0	5,0	233,19531
1,0	0,22	0,08	4,0	5,0	253,56641
1,0	0,20	0,09	4,0	5,0	243,84180
1,0	0,20	0,08	5,0	5,0	239,85547
1,0	0,20	0,08	4,0	6,0	240,44531

Med $= 55 \text{ kp/mm}^2$ erhölls följande tabell:

t	r	μ	∇_1	∇_2	F
1,0	0,20	0,08	4,0	5,0	274,00000
0,9	0,20	0,08	4,0	5,0	263,37109
1,0	0,22	0,08	4,0	5,0	285,96875
1,0	0,20	0,09	4,0	5,0	275,30078
1,0	0,20	0,08	5,0	5,0	270,94531
1,0	0,20	0,08	4,0	6,0	271,55469

Ur ovanstående tabell erhålles följande värden på derivator per mm valsbredd:

$$a) \quad \frac{\partial F}{\partial \mu} = 102,7 \text{ kp}$$

$$b) \quad \frac{\partial F}{\partial \mu} = 130,1 \text{ kp}$$

$$\frac{\partial F}{\partial T_1} = -3,0$$

$$\frac{\partial F}{\partial T_1} = -3,1$$

$$\frac{\partial F}{\partial T_2} = -2,4$$

$$\frac{\partial F}{\partial T_2} = -2,4$$

$$\frac{\partial F}{\partial r} = 537,6 \text{ kp}$$

$$\frac{\partial F}{\partial r} = 598,4 \text{ kp}$$

$$\frac{\partial F}{\partial h_1} = 528 \text{ kp/mm}$$

$$\frac{\partial F}{\partial h_1} = 576 \text{ kp/mm}$$

$$\text{Försök a) + b) } \Rightarrow \frac{\partial F}{\partial T} = 6,2 \text{ mm}^2$$

Ovan har vi $F = fkn(h_1, r, T_1, T_2, \mu, T)$

$$\text{dvs. } \Delta F = \frac{\partial F}{\partial h_1} \Delta h_1 + \frac{\partial F}{\partial r} \Delta r + \frac{\partial F}{\partial T_1} \Delta T_1 + \frac{\partial F}{\partial T_2} \Delta T_2 + \frac{\partial F}{\partial \mu} \Delta \mu + \frac{\partial F}{\partial T} \Delta T$$

Nu är vi i stället intresserade av

$$F = fkn(h_1, h_2, T_1, T_2, T, \mu)$$

$$a) \quad \begin{cases} \Delta F = -9,6 \\ \Delta h_1 = -0,1 \\ \Delta r = 0 \end{cases}$$

$$r = \frac{h_1 - h_2}{h_1} = \frac{0,9 - h_2}{0,9} = 0,2$$

$$\Rightarrow h_2 = 0,72$$

$$h_2 \text{ borde vara } 0,80, \text{ ty } h_1 = 1,00 \text{ och } r = 0,20 \\ \Rightarrow h_2 = 0,80 \Rightarrow \Delta h_2 = -0,08$$

Insättning i

$$\Delta F = \frac{\partial F}{\partial h_1} \Delta h_1 + \frac{\partial F}{\partial h_2} \Delta h_2 + \frac{\partial F}{\partial \mu} \Delta \mu + \frac{\partial F}{\partial V_1} \Delta V_1 + \frac{\partial F}{\partial V_2} \Delta V_2 + \frac{\partial F}{\partial V} \Delta V$$

ger $9,6 = \frac{\partial F}{\partial h_1} 0,1 + \frac{\partial F}{\partial h_2} 0,08$

$$2 \begin{cases} \Delta F = 10,8 \\ \Delta h_1 = 0 \\ \Delta r = 0,02 \end{cases} \quad \begin{aligned} h_2 &= h_1 (1-r) \\ \Delta h_2 &= -\Delta r h_1 = -0,02 \cdot 1 = -0,02 \end{aligned}$$

$$\Rightarrow 10,8 = -\frac{\partial F}{\partial h_2} \cdot 0,02 \Rightarrow \frac{\partial F}{\partial h_2} = -540 \text{ kp/mm}$$

$$\Rightarrow \frac{\partial F}{\partial h_1} = 528$$

b) ger på motsvarande sätt

$$\frac{\partial F}{\partial h_2} = -600 \quad \frac{\partial F}{\partial h_1} = 576$$

Med en valsbredd på 1156 mm enligt försök av G.F. Bryant fås:

$$\frac{\partial F}{\partial h_2} \approx -550 \cdot 1156 = -635,8 \text{ ton/mm}$$

Likaså hämtas ur samma litteraturkälla koefficienten före $\Delta S = 0,158$
Med hjälp av detta värde erhålles genom insättning i tidigare förhållande:

$$0,158 = \frac{1}{1 + K \cdot 635,8}$$

$$\Rightarrow \text{fjäderkonstanten } K = 8,4 \cdot 10^{-3} \text{ mm/ton.}$$

Uttrycket $\frac{K}{1 - K \frac{\partial F}{\partial h_2}}$ erhålles då till $1,32 \cdot 10^{-3}$ mm/ton.

Genom insättning av ovan beräknade värden och identifiering erhålles a-konstanterna till:

$$a_1 = -0.0040 \text{ mm/ton} \quad a_2 = -0.0032 \text{ mm/ton}$$

$$a_3 = 0.16 \text{ mm/mm} \quad a_4 = 0.84 \text{ mm/mm}$$

$$a_5 = 9,4 \text{ mm}^3/\text{ton} \quad a_6 = 0.17 \text{ mm}$$

$$\Rightarrow \Delta h_2 = 0.16 \Delta S + 0.84 \Delta h_1 - 4,0 \Delta T_1 - \\ - 3,2 \Delta T_2 + 170 \Delta \mu + 9,4 \cdot 10^9 \Delta T$$

(sorter i μm och ton)

Fortranprogram för beräkning av
vals kraft vid kallvalsning
 (enl. Ing. N. Claesson, ASEA)

```

C  BERÄKNING AV VALSKRAFT VID KALLVALSNING
C  ROBERTS "A SIMPLIFIED MODEL"
  BEGIN PROGRAM AT /100000
  DIMENSION T(20), R(20), FMY(20), SG1(20), SG2(20)
  READ I, N, ALFA, DM, E
1  FORMAT (I4, 3F10.4)
  PRINT 2
2  FORMAT (2X, 1HN, 4X, 4HALFA, 7X, 2HDM, 8X, 1HE)
  PRINT I, N, ALFA, DM, E
  READ 3, SGO, A1, A2
3  FORMAT (3F10.5)
  PRINT 4
4  FORMAT (3X, 3HSGO, 6X, 2HA1, 7X, 2HA2)
  READ 5(T(I), R(I), FMY(I), SG1(I), SG2(I)), I=1, N)
5  FORMAT (5F10.4)
  I=1
8  SGT = (SG1(I) + SG2(I) * (2. - R(I))) / (2. - R(I))
  SGY = SGO + A1 * R(I) / 2. + A2 * SQRTF(R(I) / 2.)
  SGC = 1.15 * SGY - SGT
  H1 = ALFA ** 2 * FMY(I) * DM * (2. - R(I))
  H2 = 2. * E * T(I) * (1. - R(I))
  H3 = H1 / H2
  H4 = SQRTF(8. * DM * T(I) * R(I))
  H5 = ALFA * SQRTF(DM / E)
  
```

$$H6 = 1. / SGC - H3$$

$$H7 = (H5 + \text{SQRT}(H5 * H5 + H4 * H6)) / (2. * H6)$$

$$FM = H7 * H7$$

PRINT 6

6 FORMAT (4X, 1HT, 9X, 1HR, 8X, 3HFMY, 17X,
3HSG1, 7X, 3HSG2, 8X, 2HFM)

PRINT 7, T(I), R(I), FMY(I), SG1(I), SG2(I), FM

7 FORMAT (6F10.5)

I = I + 1

IF (I - N) 8, 8, 9

9 CONTINUE

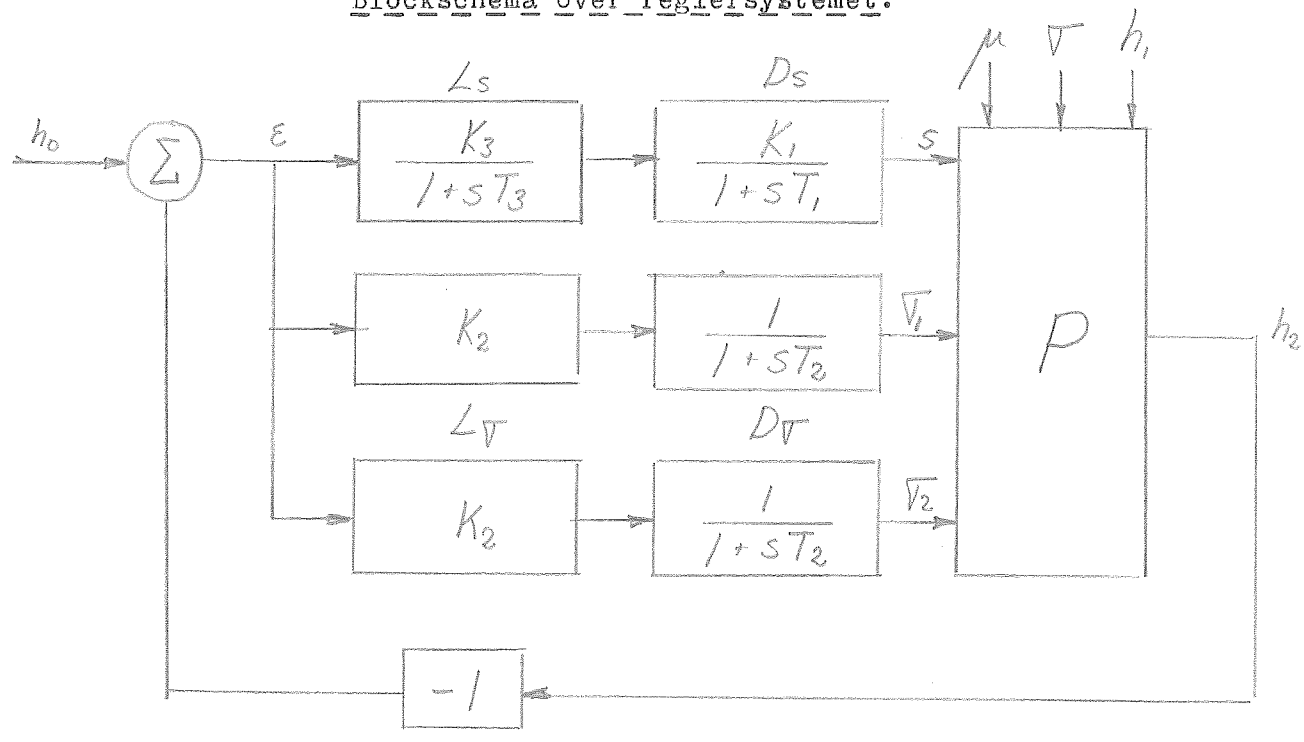
STOP

END

Parametrisk optimering med olika störpektra.

De olika Laplace-transformerna av överföringsfunktionerna för de tre motorerna var givna vid examensarbetets begynnelse. Med kännedom om de i föregående kapitel beräknade sambanden mellan de olika variablerna kan man nu åstadkomma ett blockschema över systemet. Med hjälp av detta kan man sedan beräkna de olika överföringsfunktionerna från instorheterna till utstorhet h_2 .

Blockschema över reglersystemet.



- L_s = Eventuellt filter för storskruven.
- L = Förstärkningsparameter för dragmotorerna.
- D_s = Given överföringsfunktion för storskryvsmotorn.
- D = Given överföringsfunktion för dragmotorerna.
- P = Processen

Anledning till av vi placerat K_3, T_3 och K_2 som en form av filter framför motorernas överföringsfunktioner är att vi ansåg dessa som variabla vid de optimeringsberäkningar som gjorts i kapitel 2. Optimeringsberäkningarna gjordes för att erhålla optimal spridning på uttjockleken av plåten.

Beräkning av överföringsfunktioner från de olika instorheterna

till utstorheten h_2 :

$$\begin{cases} \varepsilon = h_0 - h_2 \\ s = L_s D_s \varepsilon \\ \nabla_1 = \nabla_2 = L_\nabla D_\nabla \varepsilon \end{cases}$$

Beteckningar se fig.

$$h_2 = a_1 \nabla_1 + a_2 \nabla_2 + a_3 s + a_4 h_1 + a_5 \nabla + a_6 \mu$$

$$h_0 = \mu = \nabla = 0 \Rightarrow$$

$$h_2 = -a_1 L_\nabla D_\nabla h_2 - a_2 L_\nabla D_\nabla h_2 - a_3 L_s D_s h_2 + a_4 h_1$$

$$\frac{h_2}{h_1} = \frac{a_4}{L_\nabla D_\nabla (a_1 + a_2) + a_3 L_s D_s + 1} = G_2$$

På motsvarande sätt erhålles

$$\frac{h_2}{\nabla} = \frac{a_5}{L_\nabla D_\nabla (a_1 + a_2) + a_3 L_s D_s + 1} = G_3$$

$$\frac{h_2}{\mu} = \frac{a_6}{L_\nabla D_\nabla (a_1 + a_2) + a_3 L_s D_s + 1} = G_4$$

$$\frac{h_2}{h_0} = \frac{(a_1 + a_2) L_\nabla D_\nabla + a_3 L_s D_s}{L_\nabla D_\nabla (a_1 + a_2) + a_3 L_s D_s + 1} = G_1$$

$$\Rightarrow h_2 = G_1 \cdot h_0 + G_2 \cdot h_1 + G_3 \nabla + G_4 \mu$$

$$G_1 = \frac{a' L_\nabla D_\nabla + a_3 L_s D_s}{a' L_\nabla D_\nabla + a_3 L_s D_s + 1} = \frac{G_0}{G_0 + 1}$$

Beräkning av stabilitetskrav för hela systemet:

$$\frac{h_2}{h_0} = \frac{a' \frac{k_2}{(1+sT_2)} + \frac{a_3 k_3 k_1}{(1+sT_3)(1+sT_1)}}{1 + \frac{a' k_2}{1+sT_2} + \frac{a_3 k_3 k_1}{(1+sT_3)(1+sT_1)}} = G_1$$

Efter räkning erhålles

$$G_1 = \frac{s^2 \cdot A + s \cdot B + C}{s^3 \cdot D + s^2 \cdot E + s \cdot F + C + 1}$$

där $A = b_1 T_1 T_3$

$a' k_2 = b_1$

$B = b_1 (T_1 + T_3) + b_2 T_2$

$a_3 k_3 k_1 = b_2$

$C = b_1 + b_2$

$D = T_1 T_2 T_3$

$E = T_1 T_2 + T_1 T_3 + T_2 T_3 + b_1 T_1 T_3$

$F = T_1 + T_2 + T_3 + b_1 (T_1 + T_3) + b_2 T_2$

Routh' test ger följande villkor:

- 1) $T_1 T_2 T_3 > 0$
- 2) $T_1 T_2 + T_1 T_3 + T_2 T_3 + a' k_2 T_1 T_3 > 0$
- 3) $a_3 k_3 k_1 + k_2 a' > -1$

$$4) \left[T_1 + T_2 + T_3 + b_2 T_2 + b_1 (T_1 + T_3) \right] - \underbrace{\frac{T_1 T_2 T_3 (1 + b_1 + b_2)}{T_1 T_2 + T_1 T_3 + T_2 T_3 + b_1 T_1 T_3}}_X > 0$$

$X > 0$ enl. villkor 1-3.

Processen (P) utgöres alltså av den tidigare framräknade ekvationen:

$$\Delta h_2 = 0,16 \cdot \Delta s + 0,84 \cdot \Delta h_1 - 4,0 \cdot \Delta \nabla_1 - 3,2 \cdot \Delta \nabla_2 + 170 \cdot \Delta \mu + 9,4 \cdot 10^9 \cdot \Delta \nabla .$$

Det ingår alltså ingen dynamik i själva systemet. Dynamiken kommer in via de båda tidigare nämnda återkopplade systemen:

$$\nabla / \nabla_0 = 1 / (1 + s \cdot T_2) \quad \text{och} \quad s / s_0 = K_1 / (1 + s \cdot T_1) ,$$

där det antagits att de båda dragåterkopplade systemen har lika överföringsfunktioner, och vidare har överföringsfunktionerna med förstgradsfunktioner i s. (approximerats)

K_1 sättes = 1.

Värden på T_1 och T_2 är ej tagna ur något specifikt system, utan T_1 och T_2 ges för de båda återkopplade systemen normala värden; sådana är:

$$T_2 = 0,08 \text{ sek.}$$

$$T_1 = 0,125 \text{ sek.}$$

Med de i blockschemat givna filtren framför motorerna skall K_3 , K_2 och T_3 optimeras med avseende på minimal spridning i uttjockleken under förutsättning av endast en störsignal med ett enkelt rationellt effektspektrum.

Effektspektrat antages vara:

$$\phi_{\mu}(\omega) = \frac{a^2}{a^2 + \omega^2}$$

Överföringsfunktionen mellan uttjockleken och störsignalen är:

$$h_2 = a_6 \cdot 1 / \left[\frac{a_2 K_2}{1 + s \cdot T_2} + \frac{a_3 K_1 K_3}{(1 + s \cdot T_1)(1 + s \cdot T_3)} + 1 \right] = G_4 .$$

Omformning ger:

$$h_2 = \frac{s^3 \cdot A + s^2 \cdot B + s \cdot C + 1}{s^3 \cdot A + s^2 \cdot D + s \cdot E + F} ;$$

där:

$$A = T_1 T_2 T_3 ; \quad B = T_1 T_3 + T_1 T_2 + T_2 T_3 ;$$

$$C = T_1 + T_2 + T_3 ; \quad D = b_1 T_1 T_3 + B ;$$

$$E = b_2 T_2 + b_1 (T_1 + T_3) + C ; \quad F = 1 + b_1 + b_2 ;$$

$$b_1 = a_2 K_2 ; \quad b_2 = a_3 K_1 K_3 ;$$

Utsignalens spektraltäthet: $\phi_{h_2}(\omega) = G(i\omega)G(-i\omega)\phi_{\mu}(\omega)$

Via standardformler för integraler erhålles: (bilaga 1)

$$E(h_2^2(t)) = 2\sqrt{a_0}^2 a_2^2 I_4$$

I_4 erhålles ur formelblad. De i I_4 ingående konstanterna äro:

$$c_0 = 1 ; c_1 = C ; c_2 = B ; c_3 = A ; d_0 = Fa ;$$
$$d_1 = Ea + F ; d_2 = Da + E ; d_3 = Aa + D ; d_4 = A .$$

För konstant värde på K_2 och T_3 beräknas optimalt K_3 , på så sätt att $E(h_2^2(t))$ deriveras med avseende på K_3 , och derivatan sättes = 0.

Därvid erhålles följande ekvation för K_3 :

$$K_3^4 \cdot B6 + K_3^3 \cdot C6 + K_3^2 \cdot D6 + K_3 \cdot E6 + F6 = 0.$$

Vidare erhålles ett uttryck för spridningen:

$$E(h_2^2) = 2\sqrt{a_0}^2 a_2^2 \cdot \frac{K_3^3 A5 + K_3^2 B5 + K_3 C5 + D5}{K_3^3 E5 + K_3^2 F5 + K_3 G5 + H5}$$

Ett algolprogram (gives som bilaga2) skrevs för att för ett antal värden på T_3 och K_2 lösa ovanstående ekvation och beräkna tillhörande spridning. I programmet är: $A = a = 0,07$; $B = a_3 = 0,16$; $A1 = a_1 + a_2$; Konstanterna $B6, A5$ osv. ovan erhålles ur programmet. I programmet är även inlagt kontroll av stabiliteten, och $E(h_2^2)$ beräknas endast för de K_3 -värden för vilka systemet är stabilt.

Vid körning av programmet erhöles värdena i tabellen på nästa sida.

Ur tabellen finner man lätt att av positiva K_2 -värden är värdet 0 det bästa. Vidare finner man att spridningen avtar med ökande värde på T_3 , varvid även det optimala K_3 -värdet ökar kraftigt. Av detta ledes man ju lätt att vilja dra den slutsatsen att filtret borde bytas mot ett med utseendet: K_3/s . Det bör alltså ingå en integrerande länk, vilket man lättare kan komma fram till genom att fodra att statistiskt fel skall elimineras. En integrerande länk medför just detta.

Genom att förenkla systemet på så sätt att vissa konstanter tilldelas speciellt enkla värden, och genom att giva filtret formen K_3/s kan man räkna analytiskt på systemet utan att behöva använda data-maskin.

Då störsignalernas effektspektrum ej är helt kända, kan det vara av intresse att genomräkna ett antal exempel med några enkla effektspektrum.

T_3	K_2	K_3	E_1
1	0,2	x	x
	0,1	$0,15 \cdot 10^1$	$0,16 \cdot 10^2$
	0,01	$0,29 \cdot 10^1$	$0,80 \cdot 10^1$
	0	$0,13 \cdot 10^1$	$0,77 \cdot 10^1$
21	0,2	x	x
	0,1	$0,21 \cdot 10^3$	$0,16 \cdot 10^0$
	0,01	$0,62 \cdot 10^3$	$0,27 \cdot 10^{-1}$
	0	$0,66 \cdot 10^3$	$0,25 \cdot 10^{-1}$
41	0,2	x	x
	0,1	$0,62 \cdot 10^3$	$0,10 \cdot 10^{-1}$
	0,01	$0,31 \cdot 10^4$	$0,94 \cdot 10^{-2}$
	0	$0,33 \cdot 10^4$	$0,85 \cdot 10^{-2}$
61	0,2	x	x
	0,1	$0,11 \cdot 10^4$	$0,88 \cdot 10^{-1}$
	0,01	$0,11 \cdot 10^5$	$0,52 \cdot 10^{-2}$
	0	$0,12 \cdot 10^5$	$0,47 \cdot 10^{-2}$
81	0,2	x	x
	0,1	$0,15 \cdot 10^4$	$0,82 \cdot 10^{-1}$
	0,01	$0,73 \cdot 10^5$	$0,33 \cdot 10^{-2}$
	0	$0,13 \cdot 10^6$	$0,29 \cdot 10^{-2}$

Tabell över spridningen i uttjockleken h_2 vid optimalt värde på K_3 , för några olika värden på T_3 och K_2 . E_1 är ej spridningen exakt, utan skiljer sig från $E(h_2^{23}(t))$ med en konstant faktor. x anger att systemet är instabilt för dessa värden.

Analys av några exempel på parametrisk optimering.

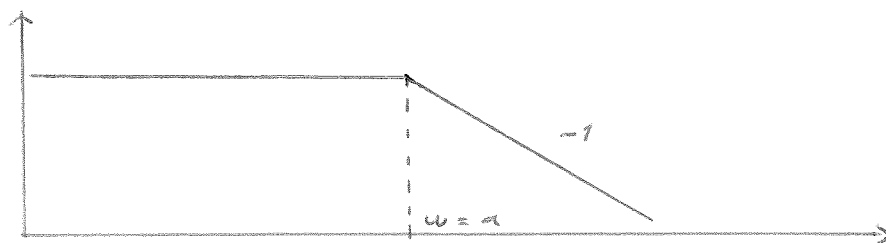
Brus med olika spektraltäthet får utgöra störning som inkommer i ett system bestående av en återkopplad motor, överföringsfunktion $1/(1+sT_1)$, jämte eventuellt ett filter, överföringsfunktion $(1/s) \cdot K_3$ eller $K_3/(1+sT_3)$. K_3 skall optimeras med avseende på minimal spridning i utsignalen med brus som insignal. (Inget filter blir alltså här detsamma som att det då finns en konstant $= K_3$ framför den återkopplade motorn.) Bruset får ha ett enkelt, rationellt effektspektrum.

Exempel på brus.

$e(t) =$ "vitt brus", dvs. brus med konstant spektraltäthet \iff att $\phi_e(\omega) =$ konstant. Konstanten sättes $= 1$.

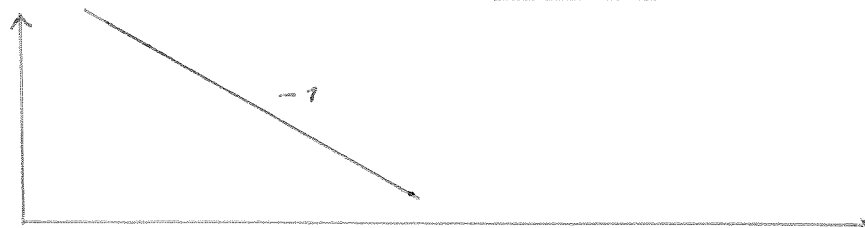
Vid uppritandet av amplitudkurvorna utritas endast asymptoterna. Kurvorna ritas med $\log G(i\omega) =$ fkn av $\log(\omega)$.

a. $\phi_\sigma(\omega) = a^2/(\omega^2+a^2) \iff \leftarrow \sigma \left[\begin{array}{c} \boxed{a/(a+s)} \\ \leftarrow e(t) \end{array} \right.$



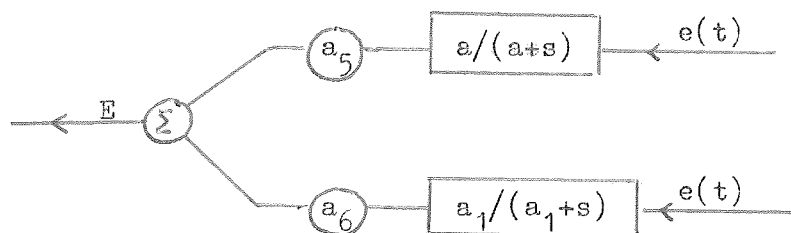
Amplitudkurva för överföringsfunktionen $a/(a+s)$.

b. $\phi_\sigma(\omega) = b^2/\omega^2 \iff \leftarrow \sigma \left[\begin{array}{c} \boxed{b/s} \\ \leftarrow e(t) \end{array} \right.$



Amplitudkurva för överföringsfunktionen b/s .

c. $\phi_E(\omega) = A^2 \cdot (\omega^2+B^2)/(\omega^2+a^2) \cdot (\omega^2+a_1^2) \iff$

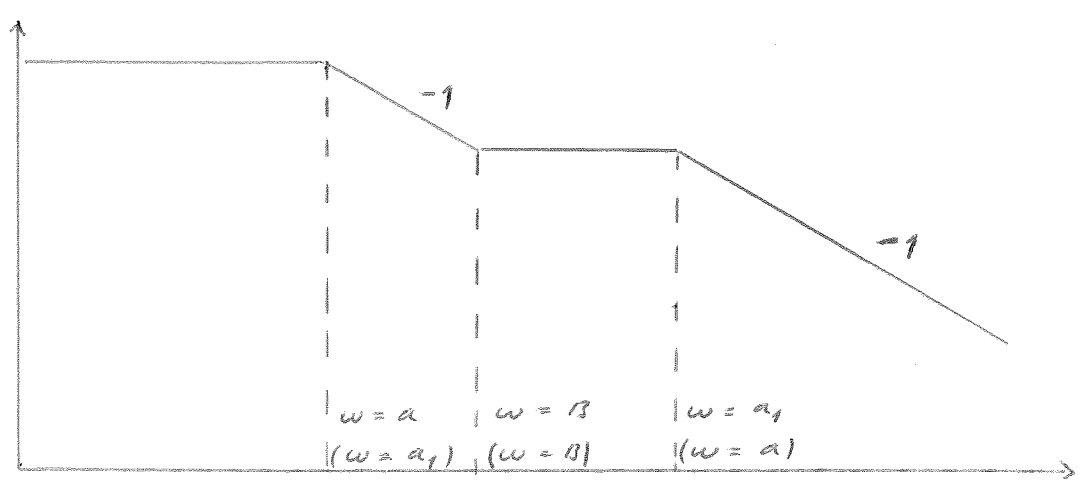


$$A^2 = a_5^2 \cdot a^2 + a_6^2 \cdot a_1^2 \quad B^2 = \frac{(a_5^2 + a_6^2) a^2 \cdot a_1^2}{a_5^2 \cdot a^2 + a_6^2 \cdot a_1^2}$$

3 tänkbara utseende finns nu på amplitudkurvan beroende på storleksordningen mellan a , a_1 och B .

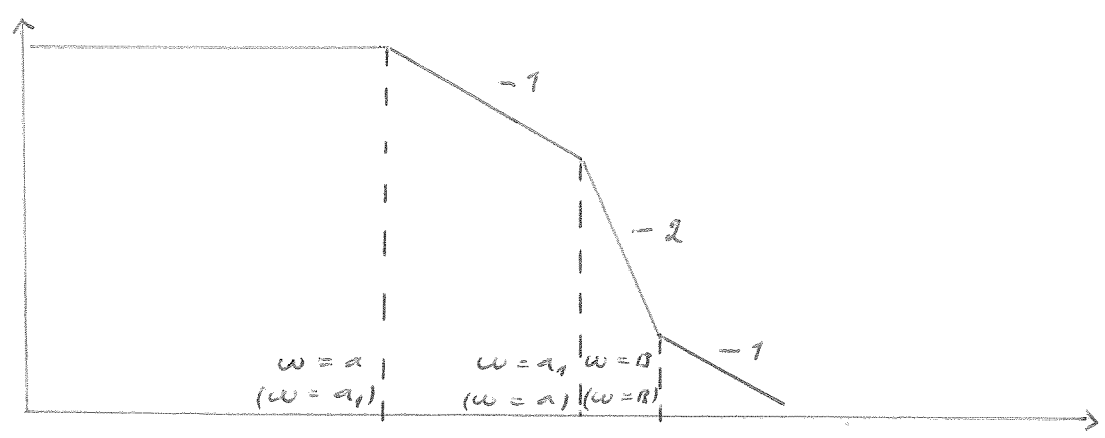
c.1.

a är större än B som är större än a_1 , eller a_1 är större än B som är större än a . I dessa båda fall blir utseendet hos amplitudkurvan:



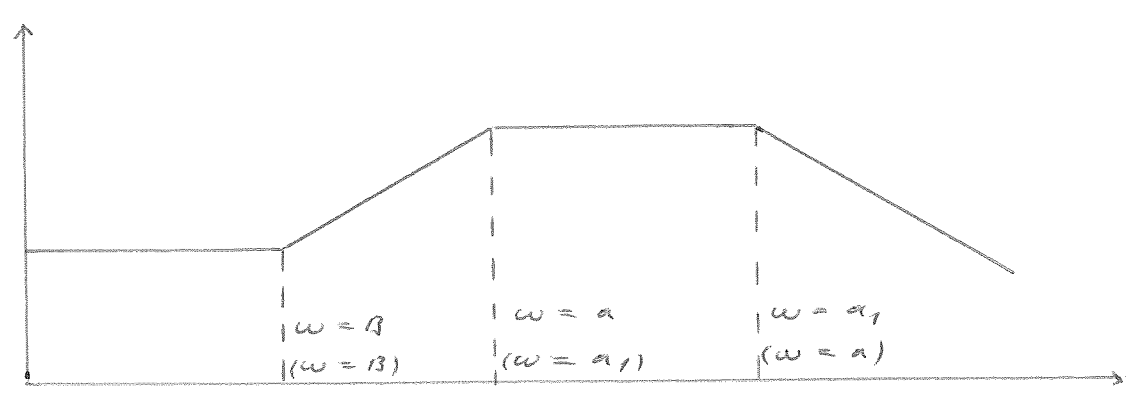
c.2.

a är större än a_1 som är större än B , eller a_1 är större än a som är större än B . I dessa båda fall blir utseendet hos amplitudkurvan:



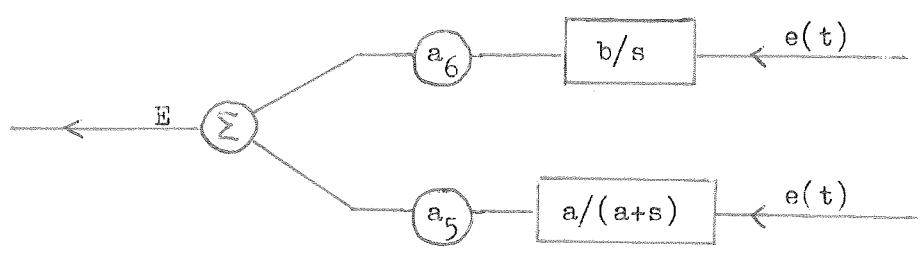
c.3.

B är större än a som är större än a_1 , eller B är större än a_1 som är större än a . I dessa båda fall blir utseendet hos amplitudkurvan:



d.

$$\phi_E(\omega) = A^2 \cdot (B^2 + \omega^2) / ((a^2 + \omega^2) \cdot \omega^2)$$

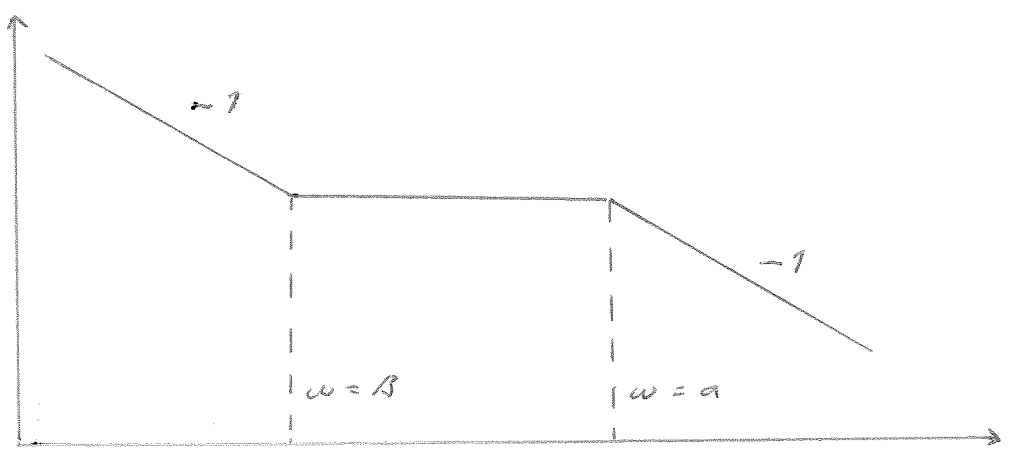


$$A^2 = a_5^2 \cdot a^2 + a_6^2 \cdot b^2 \quad . \quad B^2 = \frac{a_6^2 \cdot a^2 \cdot b^2}{a_5^2 \cdot a^2 + a_6^2 \cdot b^2} \quad .$$

2 tänkbara utseende finns nu på amplitudkurvan beroende på storleksordningen mellan a och B:

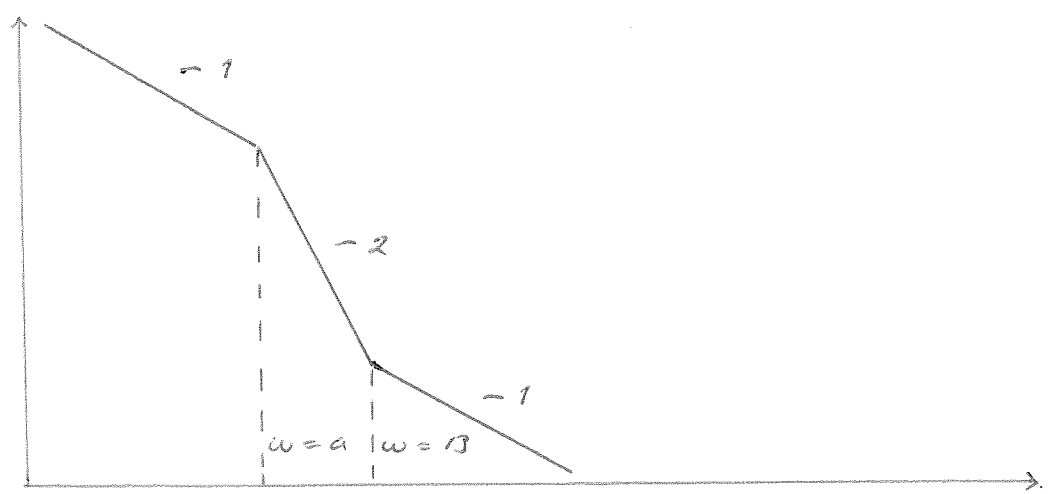
d.1.

B är större än a. Då blir amplitudkurvans utseende:



d.2.

a är större än B. Då blir amplitudkurvans utseende:

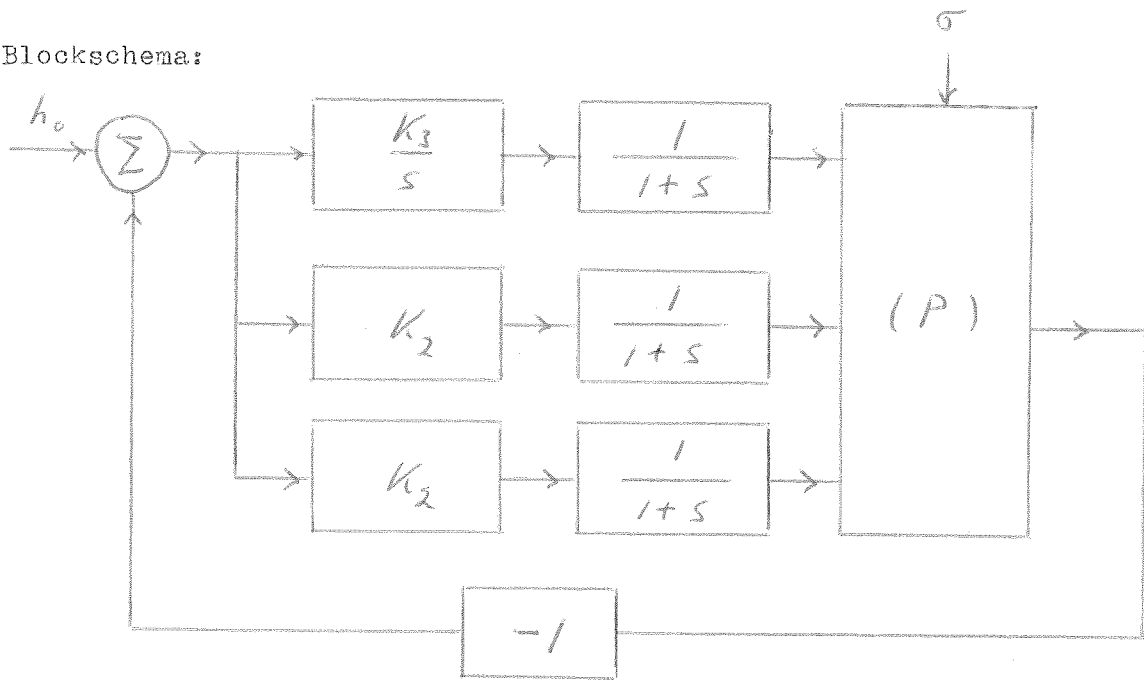


Först ett exempel angående optimering av K_2 med filter K_3/s och effektspektrum hos störnsignalen enligt brusexempel a.

Överföringsfunktionen:

förenklas på så sätt att $\frac{h_2}{\sigma} = \frac{a_5}{a_3 K_3 / s(1+sT_1) + a_2 K_2 / (1+sT_2) + 1}$
 vi sätter: $a_3 = T_1 = T_2 = 1$.

Blockschema:



Överföringsfunktionen förenklas till:

$$\frac{h_2}{\sigma} = \frac{a_5 (s^2 + s)}{s^2 + s(1 - K_2) + 1} = G$$

Stabilitetskrav: $K_2 \leq 1$

Utsignalens spektraltäthet: $\phi_{h_2}(\omega) = G(i\omega) G(-i\omega) \phi_{\sigma}(\omega)$

Integralformler ger:

$$E(h_2^2(t)) = 2\pi a_5^2 a^2 \frac{a^2 + 2a - K_2 a^2}{2a(a^2 + a - K_2 a^2 + a + 1 - K_2 a \cdot 2 - K_2 + K_2^2 a - 2a)}$$

$$\frac{dE}{dK_2} = 2\pi a_5^2 a^2 \frac{8a(1-K) + 8a^2(1-K) + 4a^2 K_2 + 2a^2 K_2^2 + 4}{2a(a^2 + a - K_2 a^2 + a + 1 - 2K_2 a - K_2 + K_2^2 a - 2a)}$$

Stabilitetskravet medför att derivatan blir större än 0 för alla K_2 inom stabilitetsgränserna. Spridningen avtar alltså med avtagande K_2 . Optimalt K_2 blir alltså 0, eller eventuellt $-\infty$.

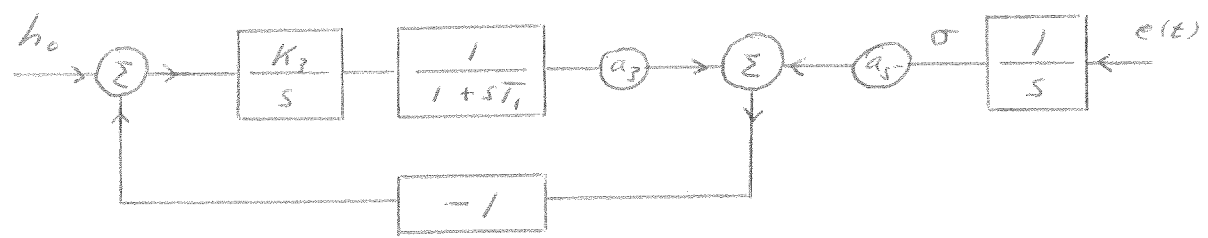
Det har visat sig att optimalt K_2 är 0 eller ev. $-\infty$. Med negativt värde på K_2 kommer man att få tre parallellkopplade motorer med i stort sett samma inverkan i systemet, under förutsättning att det finns samma eventuella filter framför alla tre motorerna. Det ger då inte mycket extra att betrakta alla tre motorerna, utan vi förenklar då på så sätt att vi i fortsättningen sätter $K_2 = 0$, dvs använder ej dragmotorerna i styrningen. Vidare sättes ett filter K_3/s framför motorn, detta för att det ej skall kunna bli något statistiskt fel. Eventuellt kan man tänka sig detta filter i samband med motorn, så att denna då är: $K_3/s(1+sT_1)$.

1) Optimering av K_3 för minimering av spridningen.

Effektspektrum:
$$\phi_{\sigma}(\omega) = \frac{1}{\omega^2}$$

Överföringsfunktion:
$$\frac{h_2}{\sigma} = \frac{a_5}{\frac{a_3 K_3}{s(1+sT_1)} + 1} = \frac{a_5 s(1+sT_1)}{s^2 T_1 + s + a_3 K_3} = G$$

Blockschema:



Stabilitetskrav enligt Routh's test: $K_3 \cdot a_3 \geq 0$

Utsignalens spektraltäthet: $\phi_{h_2}(\omega) = G(i\omega) G(-i\omega) \cdot \phi_{\sigma}(\omega)$

Integralformler ger:

$$E(h_2^2(t)) = 2\pi a_5^2 \cdot \frac{K_3 \cdot a_3 T_1^2 + T_1}{K_3 \cdot 2a_3 T_1}$$

$$\frac{dE}{dK_3} = -2a_3 T_1^2 \cdot 2\pi a_5^2 \cdot \frac{1}{(K_3 \cdot 2a_3 T_1)^2}$$

Derivatans är således negativ för alla K_3 , och alltså spridningen avtagande med växande K_3 . Optimala värdet på K_3 blir därför: $K_3 = \infty$, för alla $a > 0$. Med detta K_3 -värde blir spridningen $= \pi \cdot a_5^2 \cdot T_1$. Om filtret K_3/s bytes mot endast K_3 blir spridningen $= \infty$. Filtret har alltså flera fördelar än den ovan nämnda, att motverka statistiskt fel.

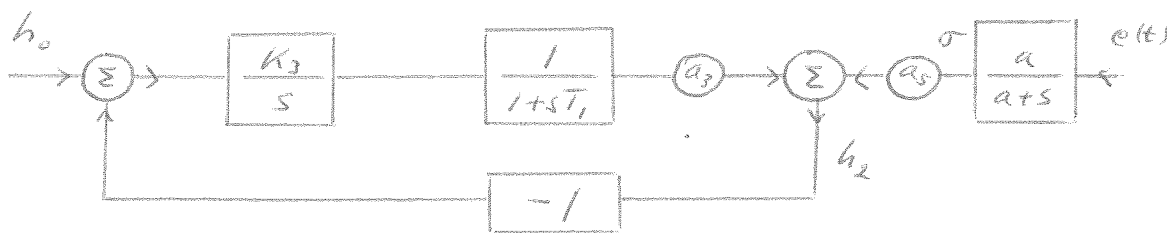
Ett effektspektrum som kan anses vara ganska verklighetsnära, vad intjockleke hos plåtbandet beträffar, är det i nästa exempel använda:

2) Optimering av K_3 för minimering av spridningen.

Effektspektrum:
$$\phi_{\sigma}(\omega) = \frac{a^2}{a^2 + \omega^2}$$

Överföringsfunktion:
$$\frac{h_2}{\sigma} = \frac{a_5 \cdot s \cdot (1 + sT_1)}{s^2T_1 + s + a_3K_3}$$

Blockschema:



Stabilitetskrav:

$$a_3 \cdot K_3 \geq 0$$

Utsignalens spektraltäthet:

$$\phi_{h_2}(\omega) = G(\omega) \cdot G(\omega) \cdot \phi_{\sigma}(\omega)$$

Integralformler ger:

$$E(h_2^2(t)) = \pi a_5^2 a^2 \cdot \frac{K_3 \cdot a_3 T_1 + a T_1 + 1}{K_3 a_3 + a + a^2 T_1}$$

$$\frac{dE}{dK_3} = \pi a_5^2 a^2 \cdot \frac{a_3 (a^2 T_1^2 - 1)}{(K_3 a_3 + a + a^2 T_1)^2}$$

Här kan nu några olika fall särskiljas:

a.

Om $a^2 \cdot T_1 - 1 = 0$, så blir derivatan = 0 oberoende av värdet på K_3 . Då blir alltså spridningen också helt oberoende av K_3 's värde. Värdet på spridningen blir för detta värde på a (dvs $a = 1/T_1$):

$$E(h_2^2(t)) = \pi \cdot a_5^2 \cdot (1/T_1).$$

b.

Om $a^2 \cdot T_1^2 - 1 > 0$, dvs. om $a > 1/T_1$ så blir derivatan > 0 för alla K_3 . Dvs. spridningen ökar med ökande K_3 . Optimalt K_3 -värde blir alltså: $K_3 = 0$.

För optimalt K_3 blir spridningen $= \pi \cdot a_5^2 \cdot a$.

c.

Om $a^2 \cdot T_1^2 - 1 < 0$, dvs. om $a < 1/T_1$ så blir derivatan < 0 för alla värden på K_3 . Spridningen minskar alltså med växande K_3 . Optimalt värde på K_3 blir då: $K_3 = \infty$.

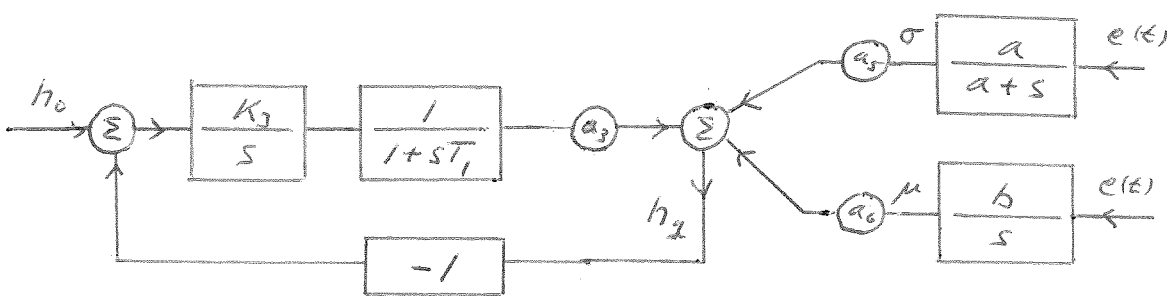
För optimalt K_3 blir spridningen $= \pi \cdot a_5^2 \cdot a^2 \cdot T_1$.

3) Optimering av K_3 för minimering av spridningen.

Effektspektrum:
$$\phi_E(\omega) = A^2 \cdot \frac{B^2 + \omega^2}{(a^2 + \omega^2) \cdot \omega^2}$$

Överföringsfunktion:
$$\frac{h_2}{\sigma} = \frac{a_5 \cdot s \cdot (1 + sT_1)}{s^2 T_1 + s + a_3 K_3} = G \cdot a_5$$

Blockschema:



$$\phi_E(\omega) = a_5^2 \cdot \frac{a^2}{a^2 + \omega^2} + a_6^2 \cdot \frac{b^2}{\omega^2} = a_6^2 \phi_\mu(\omega) + a_5^2 \phi_\sigma(\omega)$$

Konstanterna A och B: se tidigare beskrivning av störningar, pkt d. De båda störningarna med effektspektrum $\phi_\sigma(\omega)$ och $\phi_\mu(\omega)$ antages vara oberoende. Detta medför:

$$\phi_{h_2}(\omega) = a_5^2 \cdot G(i\omega) \cdot G(-i\omega) \cdot \phi_\sigma(\omega) + a_6^2 \cdot G(i\omega) \cdot G(-i\omega) \cdot \phi_\mu(\omega)$$

$$E(h_2^2(t)) = \int_{-\infty}^{\infty} \phi_{h_2}(\omega) d\omega$$

På grund av integralens linearitet fås:

$$E(h_2^2(t)) = \int_{-\infty}^{\infty} a_5^2 \cdot G(i\omega) \cdot G(-i\omega) \cdot \phi_{\sigma}(\omega) d\omega +$$

$$+ \int_{-\infty}^{\infty} a_6^2 \cdot G(i\omega) \cdot G(-i\omega) \cdot \phi_{\mu}(\omega) d\omega$$

Integralformler ger:

$$E(h_2^2(t)) = \pi a_5^2 a^2 \cdot \frac{K_3 \cdot a_3 T_1 + a T_1 + 1}{K_3 \cdot a_3 + a + a^2 T_1} +$$

$$+ \pi \cdot a_6^2 b^2 \cdot \frac{K_3 \cdot a_3 T_1 + 1}{K_3 \cdot a_3}$$

$$\frac{dE}{dK_3} = \pi a_3 \cdot \left(a_5^2 a^2 \cdot \frac{a^2 T_1^2 - 1}{(K_3 a_3 + a + a^2 T_1)^2} - \frac{a_6^2 b^2}{(K_3 a_3)^2} \right)$$

Om nu $a > 1/T_1$ så blir derivatan negativ för alla K_3 , och alltså spridningen avtagande med växande K_3 , varför optimalt värde på K_3 således blir: $K_3 = \infty$.

Med detta optimala värde på K_3 blir spridningen:

$$E(h_2^2(t)) = \pi \cdot a_5^2 \cdot a^2 \cdot T_1 + \pi a_6^2 \cdot b^2 \cdot T_1$$

Om i stället $a < 1/T_1$ så blir derivatan positiv eller negativ beroende på bl.a. värdet på K_3 . Derivatan kan kanske bli = 0 för något K_3 , dvs. det kan kanske finnas ett optimalt $K_3 \neq \infty$.

Antagande: $a_5 \cdot a = a_6 \cdot b$. Då fås:

$$\frac{dE}{dK_3} = \pi a_3 a_5^2 a^3 \cdot \frac{K_3^2 a a_3^2 T_1^2 - K_3 (a_3 + a a_3 T_1) 2 - (2a^2 T_1 + a + a^3 T_1^2)}{(K_3 a_3)^2 \cdot (K_3 a_3 + a + a^2 T_1)^2}$$

Sättes nu derivatan = 0 fås:

$$K_3 = \frac{1 + a T_1}{a a_3 T_1^2} \pm \sqrt{\left(\frac{1 + a T_1}{a a_3 T_1^2} \right)^2 + \frac{2 a^2 T_1 + a + a^3 T_1^2}{a a_3^2 T_1^2}}$$

Således finns en positiv rot.

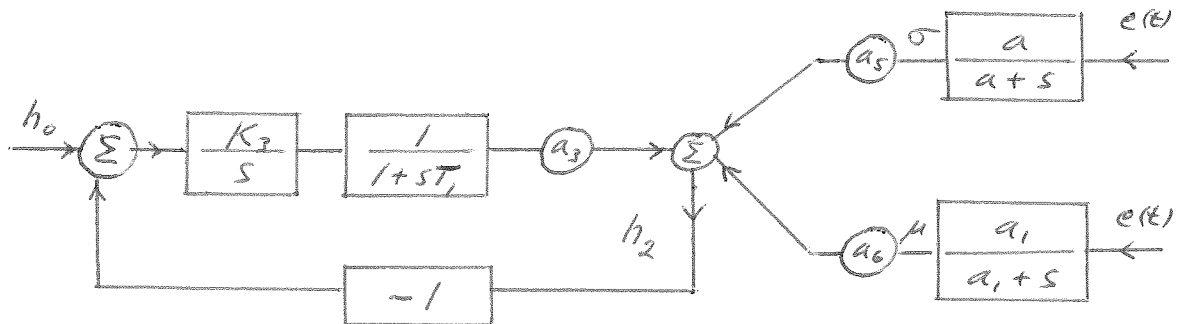
Med vissa värden på a_5 , a_6 , a och b kan det alltså vara tänkbart att finna ett optimalt $K_3 \neq \infty$, och $\neq 0$.

4) Optimering av K_3 för minimering av spridningen.

Effektspektrum: $\phi_E(\omega) = \frac{\omega^2 + \beta^2}{(\omega^2 + a^2)(\omega^2 + a_1^2)} \cdot A^2$

Överföringsfunktion: $\frac{h_2}{\sigma} = \frac{a_5 \cdot s \cdot (1 + sT_1)}{s^2 T_1 + s + a_3 K_3} = G \cdot a_5$

Blockschema:



$$\phi_E(\omega) = a_5^2 \cdot \frac{a^2}{a^2 + \omega^2} + a_6^2 \cdot \frac{a_1^2}{a_1^2 + \omega^2} = a_5^2 \phi_\sigma(\omega) + a_6^2 \phi_\mu(\omega)$$

Konstanterna A och B: se tidigare beskrivning av störningar, pkt d.

De båda störningarna antages vara oberoende. Detta medför (se analogin med föregående exempel):

$$E(h_2^2(t)) = \pi a_5^2 a^2 \cdot \frac{K_3 \cdot a_3 T_1 + a T_1 + 1}{K_3 a_3 + a + a^2 T_1} +$$

$$+ \pi a_6^2 a_1^2 \cdot \frac{K_3 a_3 T_1 + a_1 T_1 + 1}{K_3 a_3 + a_1 + a_1^2 T_1}$$

$$\frac{dE}{dK_3} = \pi a_5^2 a^2 a_3 \cdot \frac{a^2 T_1^2 - 1}{(K_3 a_3 + a + a^2 T_1)^2} + \pi a_6^2 a_1^2 a_3 \cdot \frac{a_1^2 T_1^2 - 1}{(K_3 a_3 + a_1 + a_1^2 T_1)^2}$$

Några olika fall kan nu här särskiljas i likhet med i exempel nr 2).

a.

Om $a = a_1 = 1/T_1$, så blir derivatan noll för alla K_3 , och alltså spridningen konstant oberoende av värdet på K_3 . Spridningen blir:

$$E(h_2^2(t)) = \pi \cdot a_5^2 \cdot 1/T_1 + \pi \cdot a_6^2 \cdot 1/T_1$$

b.

Om $a > 1/T_1$ och $a_1 > 1/T_1$ så blir derivatan > 0 för alla K_3 , och alltså optimalt $K_3 = 0$. Spridningen blir då:

$$E(h_2^2(t)) = \pi \cdot a_5^2 \cdot a + \pi \cdot a_6^2 \cdot a_1 .$$

c.

Om $a < 1/T_1$ och $a_1 < 1/T_1$ så blir derivatan < 0 för alla K_3 , och alltså optimalt $K_3 = \infty$. Spridningen blir då:

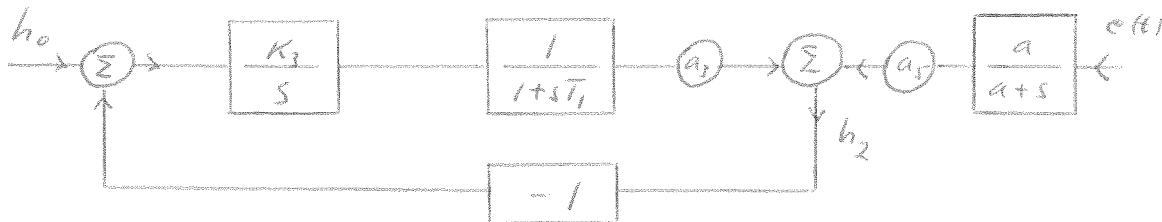
$$E(h_2^2(t)) = \pi \cdot a_5^2 \cdot a^2 \cdot T_1 + \pi \cdot a_6^2 \cdot a_1^2 \cdot T_1 .$$

d.

Om $a > 1/T_1$ och $a_1 < 1/T_1$ eller $a < 1/T_1$ och $a_1 > 1/T_1$ så fås ju en negativ term och en positiv term i derivatan, vilkas summa kan bli positiv eller negativ beroende på bl.a. värden på K_3 , a_5 och a_6 . Det kan alltså finnas en möjlighet att för i övrigt fixa värden på ingående storheter finna ett värde på K_3 som medför att derivatan blir $= 0$. Ett optimalt värde på $K_3 \neq 0$ och $\neq \infty$, alltså.

Optimering av T_1 för minimering av spridningen.

- 5) Med samma effektspektrum som i exempel 2, och med samma överföringsfunktion optimeras T_1 i stället för K_3 :



Liksom tidigare fås:

$$E(h_2^2(t)) = \underbrace{\pi a_s^2 a^2}_K \cdot \frac{K_3 \cdot a_3 T_1 + a T_1 + 1}{K_3 \cdot a_3 + a + a^2 T_1} \quad ;$$

$$\frac{dE}{dT_1} = K \cdot \frac{2 a a_3 K_3 + a_3^2 K_3^2}{(T_1 a_3^2 + a + a_3 K_3)^2} \quad ;$$

Derivatan är större än noll för alla T_1 och alla K_3 större än noll. Optimalt T_1 blir alltså = 0. För detta värde på T_1 fås:

$$E(h_2^2(t)) = K \cdot \frac{1}{a + a_3 K_3} \quad ;$$

Med $K_3 = \infty$ fås då att spridningen blir = 0.

Med ett effektspektrum: $K \cdot a^2 / (a^2 + \omega^2)$ fås spridningen $\pi K a^2$, i signalen μ .



Kovariansfunktionen för en signal med ovanstående effektspektrum är:

$$r(\tau) = \pi K^2 a \cdot e^{-a|\tau|}$$

Vid mätningar på ett två mm tjockt plåtband erhöles följande värden: spridningen $\sigma^2 = 3,34 \cdot 10^{-4} \text{ mm}^2$
tidskonstanten $1/a = 0,4 \text{ s}$ (detta vid en bandhastighet av 3 m/s .)

Ur värdet på spridningen fås att $K^2 = 4,25 \cdot 10^{-5}$.

$\phi(\omega)$	$G_s(\omega)$	Vissa värden	σ^2 [σ^2] = mm^2
F_a	1		$7,85K = 3,34 \cdot 10^{-4}$
F_b	1	alla $K \neq 0$	∞
F_b	$a_4 \cdot G_1$	$T_1=0,1; K_3=\infty$	$0,22K = 0,085 \cdot 10^{-4}$
F_a	$a_4 \cdot G_1$	$T_1=0,1; K_3=\infty$	$1,38K = 0,59 \cdot 10^{-4}$
F_a	$a_4 \cdot G_1$	$T_1=0,1; K_3=100$	$2,3K = 0,98 \cdot 10^{-4}$
F_a	$a_4 \cdot G_1$	$T_1=0; K_3=100$	$0,75K = 0,32 \cdot 10^{-4}$
F_a	$a_4 \cdot G_1$	$T_1=0; K_3=\infty$	0
$a_4^2 \cdot F_a + a_6^2 \cdot F_{a1}$	G_1	$T_1=0,1; K_3=\infty$	$0,59 \cdot 10^{-4} + \sigma_1^2$

Tabell över spridningen i utsignalen h_2 för några olika fall, med insatta värden på konstanterna ingående i effektspektrum och överföringsfunktion.

Konstanterna ingående i själva processen:

$$a_3 = 0,16 ; a_4 = 0,84 ; a_6 = 0,17 .$$

Konstanter i effektspektrum:

$$a = 2,5 ; K = 4,25 \cdot 10^{-5} .$$

$$F_a = K \cdot (a^2 / (a^2 + \omega^2)) ; F_b = K \cdot 1 / \omega^2 . F_{a1} = (a_1^2 / (a_1^2 + \omega^2)) \cdot K_1 .$$

$$G_1 = 1 / [(a_3 K_3 / s(1 + sT_1)) + 1] .$$

F_a är med de ovan satta värdena effektspektrum för intjockleken hos bandet om detta är 2 mm tjockt, och om bandhastigheten är 3 m/s, enligt förut omtalade mätning.

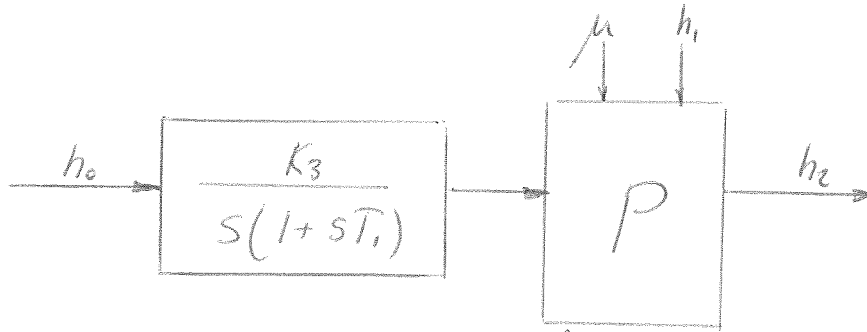
I sista exemplet i tabellen har a_6 satts till 0,17, den konstant som i processen är relaterad till friktionen. F_{a1} är då alltså friktionens effektspektrum. Spridningen i friktionen sättes till σ_μ^2 , då fås: $\sigma_1^2 = a_6^2 \cdot T_1 \cdot a_1 \cdot \sigma_\mu^2 = 0,003 \cdot a_1 \cdot \sigma_\mu^2$. Kovariansfunktionen för friktionen är alltså: $\psi_\mu(z) = \sigma_\mu^2 \cdot e^{-a_4 \cdot |z|}$.

För att man ej skall behöva beakta friktionens inverkan på spridningen i uttjockleken, skall σ_1^2 vara exempelvis mindre än 1/10 av spridningen i uttjockleken orsakad av spridning i intjockleken. Då fås: $a_1 \cdot \sigma_\mu^2 < 2 \cdot 10^{-3} \text{ mm}^2/\text{s}$.

Om a_6 ändras till a_5 , dvs konstanten relaterad till hårdheten, och F_{a1} i stället är effektspektrum för hårdheten kan liknande krav fås på konstanterna i hårdhetens kovariansfunktion.

Sampling av systemet för optimal styrning med datamaskin.

Om man vill åstadkomma en optimal styrstrategi för minimering av spridningen i uttjockleken (h_2), måste man använda någon form av beräkningsenhet i återkopplingen. För att kunna reglera systemet med datamaskin måste detta vara samplat, då en datamaskin endast kan arbeta med tidsdiskreta värden. Systemet, som vi kommer att arbeta med under det samplade fallet har nedanstående blockschema:



Vi förutsätter sålunda att förstärkningskonstanten för haspelmotorerna är satt till 0. Reglering sker därför endast med storskruvsmotorn.

De störningar som verkar på processen antages ha effektspektrat

$$\phi(\omega) = \frac{a^2}{a^2 + \omega^2} \cdot K$$

Detta antagande grundar sig på vissa mätningar som är gjorda på ASEA. Vid dessa fann man att störningarna på insignalen h_1 ungefär hade ovanstående effektspektrum med $a = 2,5$. Detta ger en periodtid på 0,4 sekunder samt en våglängd av 1,2 meter (bandhastighet 3 m/sek). Då variationerna i friktion är långsammare än de ovan nämnda, satte vi periodtiden för dessa variationer till 5 sekunder medförande $a = 0,2$. Variationerna i hårdheten bortser vi tills vidare ifrån.

Den öppna överföringsfunktionen för h_2/h_0 erhålles till

$$\frac{h_2}{h_0} = \frac{A_3 K_3}{s(1+sT_1)}$$

Om man låter insignalen h_0 vara ett steg $1/s$ så erhålles

$$h_2 = \frac{A_3 K_3}{s^2(1+sT_1)}$$

Denna kvot kan faktoruppdelas, varefter man kan z-transformera varje del för sig. Om sedan z-transformen av steget åter utbrytes så erhålles z-transformen av det ovan angivna kontinuerliga systemet.

$$\frac{h_2}{h_0} = \frac{z^{-1}(z^{-1}N_2 + N_1)}{z^{-2}B_3 - z^{-1}N_3 + 1}$$

$$A_3 N_1 = A_3 K_3 T + A_3 K_3 (B_3 - 1)$$

$$A_3 N_2 = A_3 K_3 T_1 (1 - B_3) - A_3 K_3 T B_3$$

$$N_3 = 1 + B_3$$

$$B_3 = e^{-T/T_1}$$

T = samplingsintervallens längd i sekunder.

På motsvarande sätt erhålles den samplade överföringsfunktionen för

$$\frac{h_2}{e} = \frac{a}{s+a} \sqrt{K}$$

till

$$\frac{h_2}{e} = \frac{M z^{-1}}{1 - z^{-1} \cdot L}$$

$$M = \sqrt{K} (1 - L)$$

$$L = e^{-Ta}$$

Detta sistnämnda system är stabilt ty

$$1 - z^{-1}L = 0 \Rightarrow z = L < 1 \quad \therefore \text{stabilt, ty}$$

rötterna är belägna innanför enhetscirkeln.

Det förra systemet är även stabilt, ty

$$z^{-2} \cdot B_3 - z^{-1} \cdot N_3 + 1 = 0$$

är med insättning av konstanternas lika med

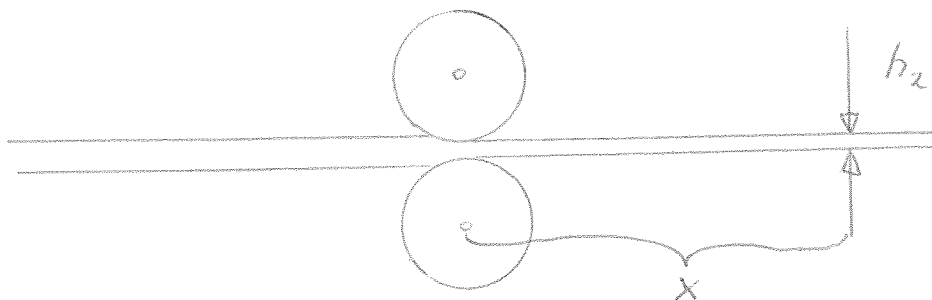
$$z^{-2} \cdot 0,606 - z^{-1} \cdot 1,606 + 1 = 0$$

vilken ekvation har rötterna: $z_1 = 0,842$

$$z_2 = 0,764$$

båda innanför enhetscirkeln.

Härledning av minimalvariansstrategin.



Härledningen göres under förutsättningen att av praktiska skäl uttjockleken h_2 kan mätas först x samplingsintervall efter valsarna. Vidare antages att intjockleken h_1 kan mätas minst så långt före valsarna som av härledningen kan visa sig erforderligt.

Systemet beskrivs av följande ekvation:

$$h_2(t) = BA^{-1}h_0(t-k-x) + DA^{-1}h_1(t-x) + \lambda CA^{-1}e(t-x)$$

där: $A(z) = 1 + a_1z + a_2z^2 + a_3z^3$

$$B(z) = b_0 + b_1z + b_2z^2$$

$$C(z) = 1 + c_1z + c_2z^2$$

$$D(z) = d_0 + d_1z + d_2z^2 + d_3z^3$$

$$\lambda = M$$

De ovan angivna gradtalen på A, B, C och D är speciellt i detta fallet. För härledningens skull kan de fyra funktionerna vara av allmän grad n .

Genom att införa identiteten:

$$C(z) = AE_{k+x-1} + z^{k+x} F_{n-1}$$

fås:

$$CA^{-1} = E + z^{k+x} FA^{-1}$$

vilket medför att det ovan angivna sambandet kan skrivas:

$$h_2(t) = BA^{-1}h_0(t-k-x) + DA^{-1}h_1(t-x) + \lambda Ee(t-x) + \lambda A^{-1}Fe(t-k-2x)$$

Nu är emellertid:

$$\lambda e(t-k-2x) = AC^{-1}h_2(t-k-x) - BC^{-1}h_0(t-2k-2x) - DC^{-1}h_1(t-k-2x)$$

varför man ytterligare kan omskriva:

$$\begin{aligned} h_2(t) &= \lambda Ee(t-x) + FC^{-1}h_2(t-k-x) - A^{-1}FBC^{-1}h_0(t-2k-2x) - \\ &\quad - A^{-1}FDC^{-1}h_1(t-k-2x) + BA^{-1}h_0(t-k-x) + DA^{-1}h_1(t-x) = \\ &= \lambda Ee(t-x) + C^{-1}Fh_2(t-k-x) + A^{-1}B(1-C^{-1}Fz^{-k-x})h_0(t-k-x) + \\ &\quad + A^{-1}D(1-C^{-1}Fz^{-k-x})h_1(t-x) \end{aligned}$$

Men nu är:

$$1-C^{-1}Fz^{-k-x} = C^{-1}AE$$

varför man får:

$$\begin{aligned} h_2(t) &= \lambda Ee(t-x) + C^{-1}Fh_2(t-k-x) + C^{-1}BEh_0(t-k-x) + \\ &\quad + C^{-1}DEh_1(t-x) \end{aligned}$$

Om nu $h_0(t)$ är en godtycklig funktion av $h_2(t)$, $h_2(t-1)$,; $h_0(t-1)$, $h_0(t-2)$,; $h_1(t+k)$, $h_1(t+k-1)$,; så finner man:

$$\begin{aligned} E(h_2^2(t)) &= E((Ee(t-x))^2) + E((Fh_2(t-k-x) + BEh_0(t-k-x) + \\ &\quad + DEh_1(t-x))^2) \end{aligned}$$

ty $e(t)$, $e(t-1)$,; är oberoende av $h_2(t-k)$, $h_2(t-k-1)$,; och av $h_0(t-k-1)$, $h_0(t-k-2)$,;

Om man nu utformar styrsignalen så att:

$$Fh_2(t) + BEh_0(t) + DEh_1(t+k) = 0$$

så fås minimal spridning i uttjockleken $h_2(t)$, nämligen

$$E(h_2^2(t))_{\min} = \lambda^2 (1 + e_1^2 + e_2^2 + e_3^2 + \dots + e_{k+x-1}^2)$$

Således: Om man styr med en signal:

$$h_0(t) = - \frac{F(\xi^{-1})}{B(\xi^{-1})E(\xi^{-1})} \cdot h_2(t) - \frac{D(\xi^{-1})E(\xi^{-1})}{B(\xi^{-1})E(\xi^{-1})} \cdot h_1(t+k)$$

så erhålles ett reglersystem som ger minimal varians i utsignalen.

Om $z^n \cdot B(z^{-1})$ skulle ha nollställen utanför enhetscirkeln, ex. vis om $z^n \cdot B(z^{-1})$ innehåller faktorn $z^r \cdot B_1(z^{-1})$ vilken har nollställen utanför enhetscirkeln, med $B_1(z^{-1})$ av graden r , så måste man bestämma polynomet $F(z)$ så att det har faktorn $B_1(z)$. Således:

$$F(z) = F_2(z) \cdot B_1(z)$$

Med $B(z^{-1}) = B_1(z^{-1}) \cdot B_2(z^{-1})$ erhålles då att i styrlagen $B(z^{-1})$ skall utbytas mot $B_2(z^{-1})$ och $F(z^{-1})$ skall utbytas mot $F_2(z^{-1})$.

I vårt fall är $B(z) = b_0 + b_1 z + b_2 z^2$, där

$$b_0 = a_3 K_3 (T + T_1 (e^{-T/T_1} - 1))$$

$$b_1 = a_3 K_3 (T_1 (1 - e^{-T/T_1}) - T e^{-T/T_1}) - b_0 e^{-Ta}$$

$$b_2 = -a_3 K_3 (T_1 (1 - e^{-T/T_1}) - T e^{-T/T_1}) e^{-Ta}$$

Med $T_1 = 0,1$; $T = 0,05$; $a = 2,5$; $K_3 = 100$; $a_3 = 0,16$ erhålles att

$z^2 \cdot (b_0 + b_1 z^{-1} + b_2 z^{-2})$ har nollställena

$$z_1 = 0,880$$

$$z_2 = -0,846$$

båda nollställen innanför enhetscirkeln, således.

Realiserande av styrstrategin för processdatamaskinen CON-PAC.

Om man sätter samplingsintervallens längd = $T = 0,05$ sekunder, så blir den tidigare nämnda sträckan x indelad i 10 samplingsintervall. Detta medför att identiteten, som användes vid härledning av styrstrategin, blir $C = AE_{10} + z^{11}F_2$.

Med denna identitet erhålles

$$1 + C_1 Z + C_2 Z^2 = (1 + v_1 Z + v_2 Z^2 + v_3 Z^3) (1 + e_1 Z + e_2 Z^2 + e_3 Z^3 + e_4 Z^4 + e_5 Z^5 + e_6 Z^6 + e_7 Z^7 + e_8 Z^8 + e_9 Z^9 + e_{10} Z^{10}) + Z^2 (f_0 + f_1 Z + f_2 Z^2)$$

Identifiering ger

$$\begin{aligned} e_1 &= c_1 - v_1 \\ e_2 &= c_2 - v_2 - v_1 e_1 \\ e_3 &= -v_3 - v_2 e_1 - v_1 e_2 \\ e_4 &= -v_3 e_1 - v_2 e_2 - v_1 e_3 \\ e_5 &= -v_3 e_2 - v_2 e_3 - v_1 e_4 \\ e_6 &= -v_3 e_3 - v_2 e_4 - v_1 e_5 \\ e_7 &= -v_3 e_4 - v_2 e_5 - v_1 e_6 \\ e_8 &= -v_3 e_5 - v_2 e_6 - v_1 e_7 \\ e_9 &= -v_3 e_6 - v_2 e_7 - v_1 e_8 \\ e_{10} &= -v_3 e_7 - v_2 e_8 - v_1 e_9 \\ f_0 &= -v_3 e_8 - v_2 e_9 - v_1 e_{10} \\ f_1 &= -v_3 e_9 - v_2 e_{10} \\ f_2 &= -v_3 e_{10} \end{aligned}$$

där $c_1 = -(1 + e^{-T/T_1})$

$$c_2 = e^{-T/T_1} = B_3$$

$$v_1 = c_1 - e^{-Ta}$$

$$v_2 = c_2 - c_1 e^{-Ta}$$

$$v_3 = -c_2 e^{-Ta}$$

För att kunna bestämma styrstrategin är vi även intresserade av produkterna BE och DE.

$$BE = (b_0 + b_1 z + b_2 z^2)(1 + e_1 z + e_2 z^2 + e_3 z^3 + e_4 z^4 + e_5 z^5 + e_6 z^6 + e_7 z^7 + e_8 z^8 + e_9 z^9 + e_{10} z^{10}) = g_0 + g_1 + g_2 + \dots + g_{12} z^{12}$$

där $g_0 = b_0$

$$g_1 = b_1 + b_0 e_1$$

$$g_2 = b_2 + b_1 e_1 + b_0 e_2$$

$$g_3 = b_2 e_1 + b_1 e_2 + b_0 e_3$$

$$g_4 = b_2 e_2 + b_1 e_3 + b_0 e_4$$

$$g_5 = b_2 e_3 + b_1 e_4 + b_0 e_5$$

$$g_6 = b_2 e_4 + b_1 e_5 + b_0 e_6$$

$$g_7 = b_2 e_5 + b_1 e_6 + b_0 e_7$$

$$g_8 = b_2 e_6 + b_1 e_7 + b_0 e_8$$

$$g_9 = b_2 e_7 + b_1 e_8 + b_0 e_9$$

$$g_{10} = b_2 e_8 + b_1 e_9 + b_0 e_{10}$$

$$g_{11} = b_2 e_9 + b_1 e_{10}$$

$$g_{12} = b_2 e_{10}$$

med $b_0 = a_3 K_3 (T + T_1 (e^{-T/T_1} - 1))$

$$b_1 = a_3 K_3 (T_1 (1 - e^{-T/T_1}) - T e^{-T/T_1}) - b_0 e^{-Ta}$$

$$b_2 = -a_3 K_3 (T_1 (1 - e^{-T/T_1}) - T e^{-T/T_1}) e^{-Ta}$$

$$DE = (d_0 + d_1 z + d_2 z^2 + d_3 z^3)(1 + e_1 z + \dots + e_{10} z^{10}) = (j_0 + j_1 z + \dots + j_{13} z^{13})$$

där $j_0 = d_0$

$$j_1 = d_1 + d_0 e_1$$

$$j_2 = d_2 + d_1 e_1 + d_0 e_2$$

$$j_3 = d_3 + d_2 e_1 + d_1 e_2 + d_0 e_3$$

$$j_4 = d_3 e_1 + d_2 e_2 + d_1 e_3 + d_0 e_4$$

$$j_5 = d_3 e_2 + d_2 e_3 + d_1 e_4 + d_0 e_5$$

$$j_6 = d_3 e_3 + d_2 e_4 + d_1 e_5 + d_0 e_6$$

$$j_7 = d_3 e_4 + d_2 e_5 + d_1 e_6 + d_0 e_7$$

$$j_8 = d_3 e_5 + d_2 e_6 + d_1 e_7 + d_0 e_8$$

$$j_9 = d_3 e_6 + d_2 e_7 + d_1 e_8 + d_0 e_9$$

$$j_{10} = d_3 e_7 + d_2 e_8 + d_1 e_9 + d_0 e_{10}$$

$$j_{11} = d_3 e_8 + d_2 e_9 + d_1 e_{10}$$

$$j_{12} = d_3 e_9 + d_2 e_{10}$$

$$j_{13} = d_3 e_{10}$$

med $d_0 = a_4$

$$d_1 = d_0 v_1$$

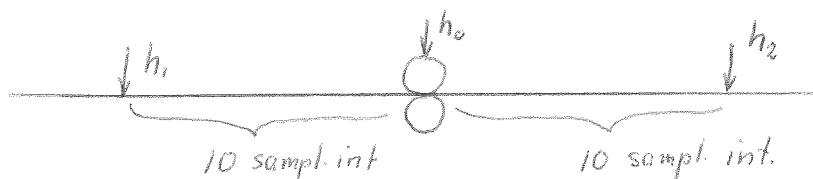
$$d_2 = d_0 v_2$$

$$d_3 = d_0 v_3$$

Insättning av ovanstående konstanter i den härledda styrlagen ger:

$$h_0(t) = -1/g_0((f_0 + f_1 z^{-1} + f_2 z^{-2})h_2(t) + z^{-9}(j_0 + j_1 z^{-1} + \dots + j_{13} z^{-13})h_1(t) + (g_1 z^{-1} + g_2 z^{-2} + \dots + g_{12} z^{-12})h_0(t))$$

Faktorn z^{-9} framför $h_1(t)$ beror på att vid realisering av styrlagen måste man mäta insignalen h_1 10 samplingsintervall innan storskruven.

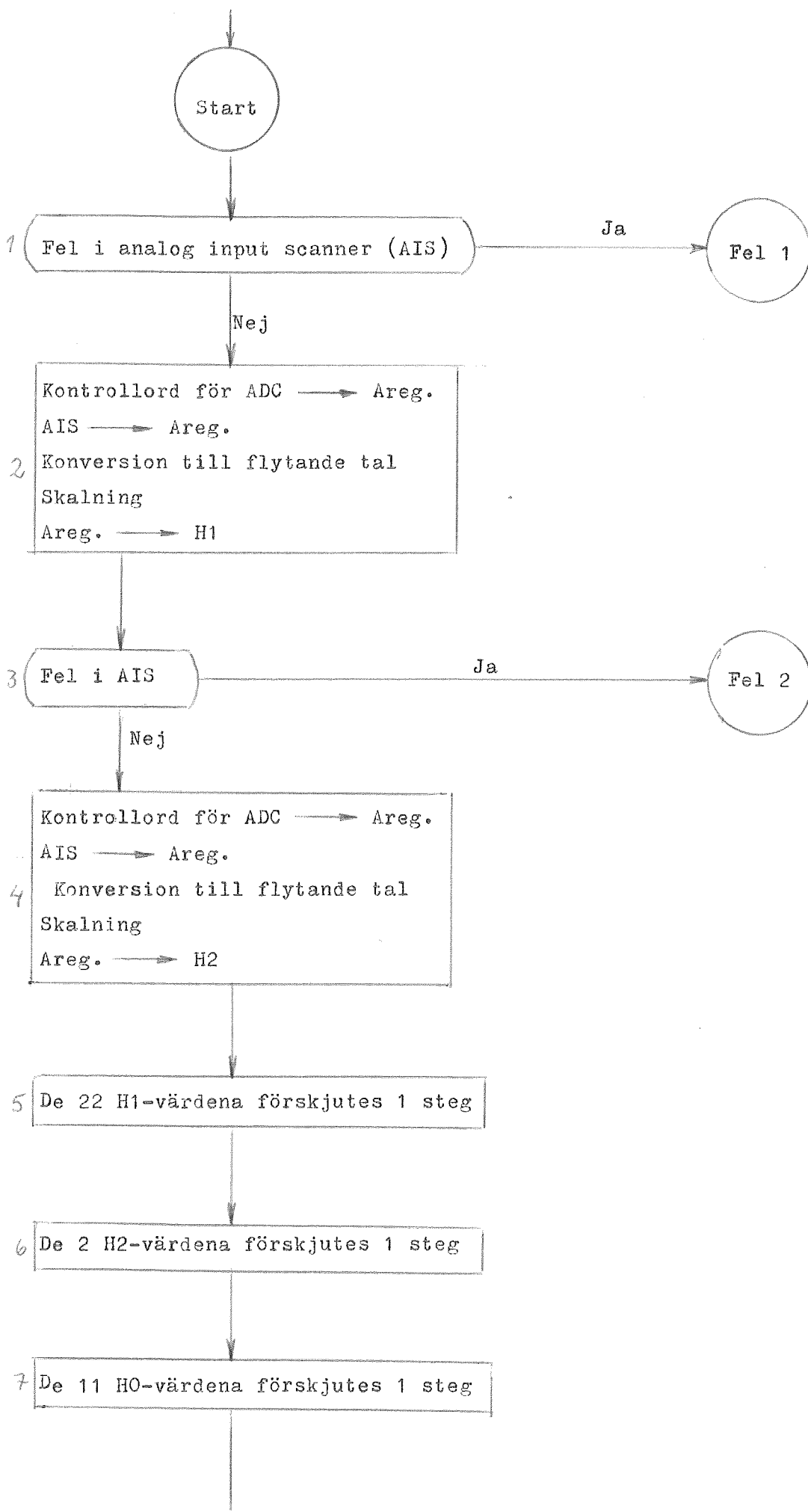


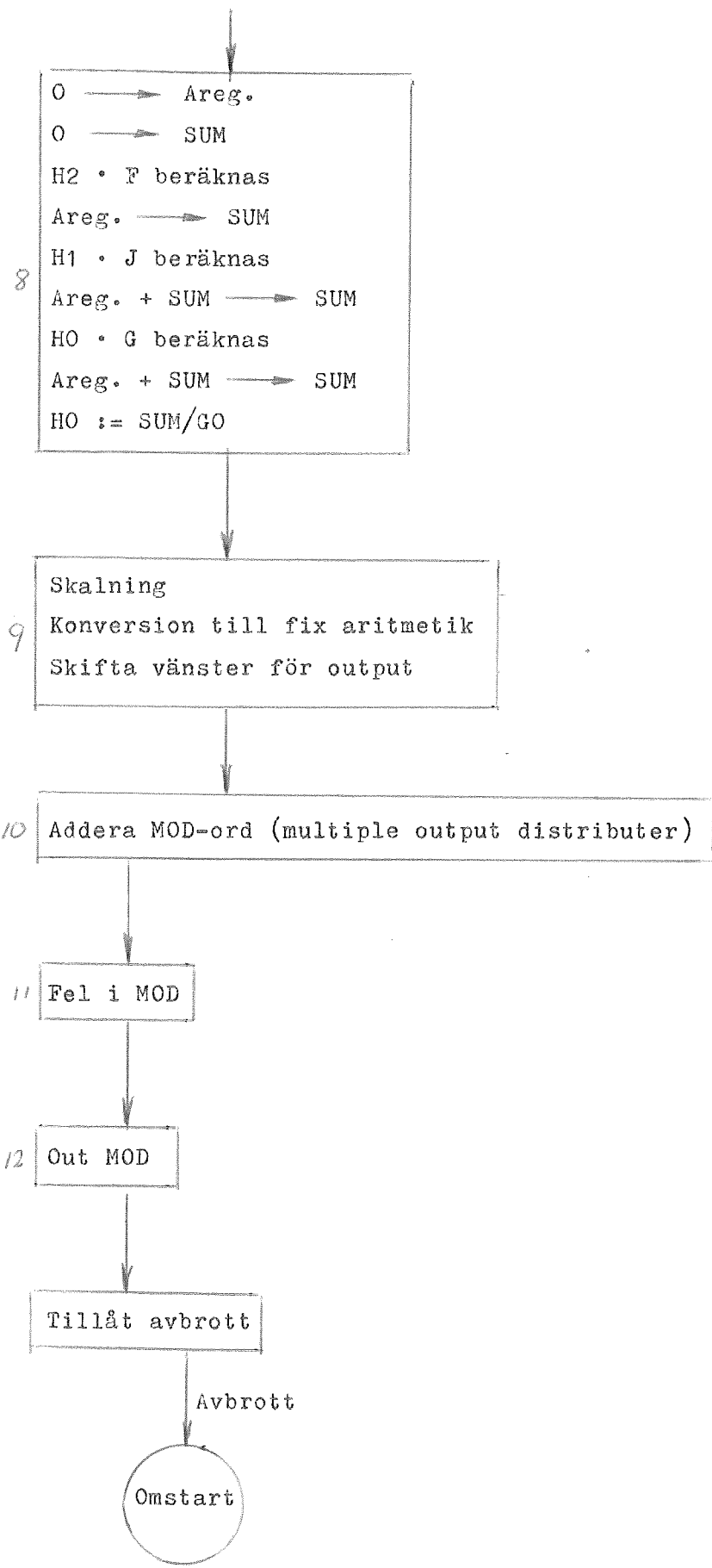
$h_1(t+k)$ i styrlagen med i vårt fall $k = 1$ är sålunda lika med $h_1(t)z^1$. Detta skall multipliceras med $z^{-10} \implies$ faktorn z^{-9} framför $h_1(t)$.

Vid programmering av styrstrategin måste man lagra 2 h_2 -värden, 22 h_1 -värden samt 11 h_0 -värden. Dessa antal beror helt på hur lång prediktion man gör vid ett visst samplingsintervall. Hur programmet i övrigt ser ut för processdatamaskinen visar flödesschemat på nästa sida. Vissa beteckningar som förekommer i flödesschemat hänsyftar på beteckningar ur PAL-språket (Program Assembling Language), i vilket vårt program är skrivet. Se bilaga 3.

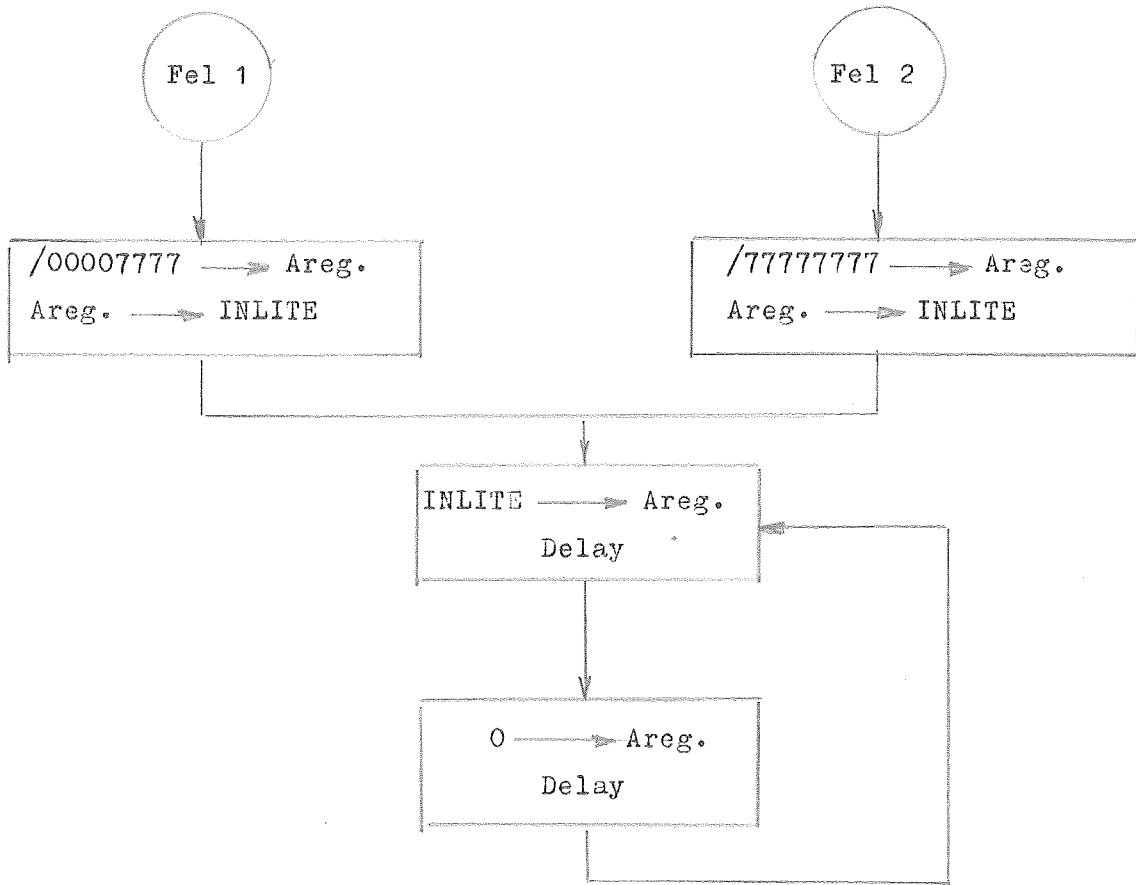
Flödesschema

avbrott





Flödesschema för blinkanordning



/00007777 Areg. INLITE innebär att en viss sifferkombination (i detta fall 00007777) överföres till läget INLITE. Då ett fel uppstår medför cykeln ovan att de 12 högra lamporna kommer att blinka (för varje 7:a åtgår 3 lampor då systemet är oktalt).

Beräkningstid och minnesbehov för CON-PAC beräknat ur programmet.

Beräkningstid: (siffrorna till vänster hänser till motsvarande beteckningar på flödesschemat).

1	204	μ sek.
2	25492	"
3	172	"
4	25492	"
5	1495	"
6	155	"
7	758	"
8	73748	"
9	5363	"
10	16	"
11	46	"
12	32	"

Detta ger en sammanlagd beräkningstid på c:a 133 msek. De mest tidskrävande procedurerna är AIS, det vill säga inläsning av analoga värden från processen, samt beräkning av själva styrstrategin. Varje analog inläsning tog 25000 μ sek. Beräkningen av styrstrategin tog c:a 74000 μ sek. Den ovan angivna beräkningstiden blev alltså större än samplingsintervallet, vilket medför att man antingen måste ha en snabbare maskin än CON-PAC 4040, vilken är en serieadderinsmaskin, eller förlänga samplingsintervallet. Med en parallelladderingsmaskin kan beräkningstiden nedbringas avsevärt.

Minnesutrymme:

Konstanter	9	celler
Konstanter i styrlagen	43	"
Celler för bevarande av H-värdena	29	"
Minnesutrymme för beräkningsprogrammet	93	"

Totala behovet = 174 celler, vilket är en mycket liten del av process-datamaskinens minne.

Ett sätt att realisera styrningen vore att simulera processen på analogmaskin samt styra med CON-PAC. Då det var svårt att få tid på CON-PAC:en för samkörning med analogmaskinen, simulerade vi i stället både process och styrning på datamaskinen GE 625.

Realisering av process och styrstrategi på GE 625.

Att realisera själva processen på datamaskin är enkelt, då processen i stort sett är en sumering av insignalerna viktade med konstanter. Dynamiken i systemet bestående av överföringsfunktionen h_2/h_0 har vi ju redan i samplad form. Även denna är enkel att realisera på datamaskin. Storskruvinställningen är i programmet benämnd $H_3(0)$ ($= s(t)$), $h_2(t) = H_2(0)$, $h_1(t) = H_1(0)$ och $h_0(t) = H_1(0)$. $h_2(t-R) = H_2(R)$, och liknande för de övriga. Styrsignalen beräknas i stort set som på CON/PAC:en.

Även intjockleken h_1 som mätes och alltså anses helt känd, och den störsignal vars spektraltäthet härledningen av styrsignalen bygger på, vilken vi valt att vara friktionen, skall genereras på datamaskinen. Den samplade överföringsfunktionen från vitt brus (eller i samplad form normalfördelade slumptal) till störsignal med önskat effektspektrum är för båda signalerna: $\frac{Mz^{-1}}{1-z^{-1}L}$ med olika M och L, förstås.



$$E(\mu^2(t)) = \frac{M^2}{1-L^2} \cdot E(\xi^2(t))$$

För intjockleken h_1 önskas $E(h_1^2(t)) = \overline{\pi} Ka = 3,34 \cdot 10^{-4}$, med $a = 2,5$ och $K = 4,25 \cdot 10^{-5}$. Då fås: $E(\xi^2(t)) = \frac{a(1-L^2)}{(1-L)^2}$
 $L = e^{-Ta}$, $T = 1/20$

Med insatta värden erhålles: $\sigma_\xi^2 = 1,23 \cdot 10^2$.

För störsignalen är $a = 0,2$ och för denna signal erhålles då $\sigma_\xi^2 = 1,27 \cdot 10^2$.

För att erhålla önskad intjocklek h_1 och önskad störsignal behövs alltså i varje samplingsögonblick två slumptal, för h_1 ett som tillhör $N(0, 11,1)$ och för störsignalen ett som tillhör $N(0, 11,1)$ vilka sedan köres genom ovanstående filter med för de båda signalerna aktuella värden på konstanterna.

Då nu $\xi(t)$ användes i stället för som i härledningen av styrsignalen $e(t)$, vilken tillhör $N(0,1)$, fås:

$$E(h_2^2(t)) = M^2 \cdot E(\xi^2(t)) \cdot (1 + \sum_{v=1}^{K+X-1} e_v^2)$$

Förbättringen i spridning som erhålles genom styrningen, dvs. förhållandet $E(h_2^2(t))/E(\mu^2(t))$, lika med: $(1-L^2) \cdot (1 + \sum_{v=1}^{k+k-1} e_v^2)$.

För några olika a-värden har detta förhållande uträknats i nedanstående tabell:

a	$1 + \sum_{v=1}^{k+k-1} e_v^2$	$1-L^2$	$\sigma_{h_2}^2 / \sigma_{\mu}^2$
0,1	9,95	0,01	0,10
0,2	9,87	0,02	0,20
0,4	9,00	0,04	0,36
0,6	8,05	0,06	0,48
0,8	7,32	0,08	0,59
1,0	6,67	0,09	0,60
2,0	4,48	0,18	0,80
2,5	4,05	0,22	0,89
3,0	3,68	0,26	0,96
4,0	3,04	0,33	1,00

Programmet, vilket medföljer som bilaga, kördes på GE 625 dels med endast h_1 som insignal, dvs utan störsignal, och dels med både h_1 och störsignalen som insignaler.

Vid den först angivna körningen erhöles en spridning i uttjockleken som var mindre än $1/10^8$ av spridningen i intjockleken. Då intjockleken h_1 mätes och är helt känd, skall dess inverkan på spridningen i uttjockleken h_2 teoretiskt helt slås ned. I praktiken kan nog den erhållna minskningen i spridning anses fullt tillfredsställande.

Vid båda körningarna utskrevs värden på in- och utsignaler vid 200 succesiva samplingstidpunkter. Ur den andra körningens 200 signalvärdesgrupper utvaldes 25 succesiva grupper ur vilka uträknades störsignalens spridning och spridningen i h_2 . Den förra erhöles till $3,164 \cdot 10^{-4}$, vilket ju är i ganska bra överensstämmelse med det väntade värdet $3,34 \cdot 10^{-4}$. Spridningen i h_2 erhöles till $7,868 \cdot 10^{-6}$, vilket är $= 0,0249 \cdot 3,34 \cdot 10^{-4}$. Om man bortser från den "förbättring" som erhålles genom att störsignalen i processen minskas med den i detta fallet till friktionen relaterade konstanten 0,17 ,

vilken minskar spridningen i h_2 med en faktor $0,17^2 = 0,0289$, så kvarstår en faktisk minskning i spridningen med en konstant vars storlek är 0,86. Om detta värde jämföres med det för $a = 2,5$ ur tabellen ovan hämtade, teoretiskt framräknade värdet på förbättringen, dvs förhållandet $E(h_2^2(t))/E(\mu^2(t))$, nämligen 0,89 så finner man en god överensstämmelse.

Som slutsats finner vi alltså att spridningen i ingående tjockleken h_1 genom styrningen via reglersystemet nästan helt kan komprimeras så att den ej inverkar på utgående plåttjockleken h_2 . (Detta under förutsättning att signalen h_1 är bandbegränsad och att den samplas med mer än dubbla högsta frekvensen som förefinnes i h_1 . Se samplingsteoremet.)

Förbättringen som fås genom att reglera, jämfört med att ej reglera, vad beträffar förhållandet $\sigma_{h_2}^2/\sigma_\mu^2$ är ju ej speciellt stor. Nu är ju denna förbättring erhållen med ett antagande av att a för friktionens del (eller för hårdhetens del) är $\approx 2,5$. Som ses ur tabellen ovan fås en betydligt större förbättring om det antages att a i stället är ex. vis 0,2, vilket vi ju kan hoppas framtida mätningar kanske ger vid handen. Om så skulle vara fallet får det undersökas huruvida detta nya a -värde medför att $z^n \cdot B(z^{-1})$ har alla sina nollställen innanför enhetscirkeln.

Ett sätt att förbättra reglersystemet är att minska det avstånd som finnes mellan valsarna och mätapparaturen för h_2 , vilket avstånd vi har antagit vara 1,5 m.

Litteraturförteckning.

- 1) G. F. Bryant, B.Sc., Graduate, and M. H. Butterfield, M.A.:
" Simulator assessment of tandem cold-rolling-mill automatic gauge-control systems".
- 2) William L. Roberts : "A simplified cold rolling model".
- 3) K. J. Åström : "Reglerteknik, stokastiska system".

Bilagor.

- 1) Tabulerade värden över integralformer.
- 2) Algolprogram för optimering av T_3, K_2 och K_3 .
- 3) Program i PAL-kod och ASS-kod för styrstrategin på CON-PAC 4040.
- 4) Algolprogram för process och styrstrategi på GE-625.

Tabell II

E.2 TABULATED VALUES OF THE INTEGRAL FORM

Table E.2-1 gives the value of I_n for values of n from 1 to 10 where

$$I_n = \frac{1}{2\pi j} \int_{-j\infty}^{j\infty} ds \frac{c(s)c(-s)}{d(s)d(-s)} \quad (E.2-1)$$

and

$$c(s) = c_{n-1}s^{n-1} + \dots + c_0 \quad (E.2-2)$$

$$d(s) = d_n s^n + \dots + d_0 \quad (E.2-3)$$

$$I_1 = \frac{c_0^2}{2d_0 d_1}$$

$$I_2 = \frac{c_1^2 d_0 + c_0^2 d_2}{2d_0 d_1 d_2}$$

$$I_3 = \frac{c_2^2 d_0 d_1 + (c_1^2 - 2c_0 c_2) d_0 d_1 + c_0^2 d_2 d_3}{2d_0 d_3 (-d_0 d_3 + d_1 d_2)}$$

$$I_4 = \frac{c_3^2 (-d_0^2 d_3 + d_0 d_1 d_2) + (c_2^2 - 2c_1 c_3) d_0 d_1 d_4 + (c_1^2 - 2c_0 c_2) d_0 d_3 d_4 + c_0^2 (-d_1 d_4^2 + d_2 d_3 d_4)}{2d_0 d_4 (-d_0 d_3^2 - d_1^2 d_4 + d_1 d_2 d_3)}$$

$$I_5 = \frac{1}{2\Delta_5} \left[c_4^2 m_0 + (c_3^2 - 2c_2 c_4) m_1 + (c_2^2 - 2c_1 c_3 + 2c_0 c_4) m_2 + (c_1^2 - 2c_0 c_2) m_3 + c_0^2 m_4 \right]$$

where

$$m_0 = \frac{1}{d_5} (d_3 m_1 - d_1 m_2)$$

$$m_3 = \frac{1}{d_0} (d_2 m_2 - d_2 m_1)$$

$$m_1 = -d_0 d_3 + d_1 d_2$$

$$m_4 = \frac{1}{d_0} (d_2 m_3 - d_4 m_2)$$

$$m_2 = -d_0 d_5 + d_1 d_4$$

$$\Delta_5 = d_0 (d_1 m_4 - d_3 m_3 + d_5 m_2)$$

$$I_6 = \frac{1}{2\Delta_6} \left[c_5^2 m_0 + (c_4^2 - 2c_3 c_5) m_1 + (c_3^2 - 2c_2 c_4 + 2c_1 c_5) m_2 + (c_2^2 - 2c_1 c_3 + 2c_0 c_4) m_3 + (c_1^2 - 2c_0 c_2) m_4 + c_0^2 m_5 \right]$$

where

$$m_0 = \frac{1}{d_6} (d_4 m_1 - d_2 m_2 + d_0 m_3)$$

$$m_4 = \frac{1}{d_0} (d_2 m_3 - d_4 m_2 + d_6 m_1)$$

$$m_1 = -d_0 d_1 d_5 + d_0 d_3^2 + d_1^2 d_4 - d_1 d_2 d_3$$

$$m_5 = \frac{1}{d_0} (d_2 m_4 - d_4 m_3 + d_6 m_2)$$

$$m_2 = d_0 d_3 d_5 + d_1^2 d_6 - d_1 d_2 d_5$$

$$\Delta_6 = d_0 (d_1 m_5 - d_3 m_4 + d_5 m_3)$$

$$m_3 = d_0 d_5^2 + d_1 d_3 d_6 - d_1 d_4 d_5$$

21584 01 08-22-67

600 ALGOL COMPILER, PASS 1

```

1      'BEGIN'  'INTEGER' F,N,M;
2              'REAL'  T1,T2,T3,K2,A,A1,B1,K1,A3,B3,C3,D3,E3,
3              F3,G3,H3,K3,A4,B4,D4,G4,H4,I4,J4,K4,
4              L4,M4,Q4,R4,A5,B5,C5,D5,E5,F5,G5,
5              H5,B6,C6,D6,E6,F6,PI,EH2,X,Y,Z,B;
6              'EXTENDED' REAL' 'ARRAY' S(0:4),U,V,KO(1:4);
7              'PROCEDURE' ROOTPOLY (N,A,F,U,V,KO,DIV);
8              'VALUE' N,F;
9              'INTEGER' N,F;
10             'ARRAY' A,U,V,KO;
11             'LABEL' DIV;
12             'COMMENT' PROGRAMMET LÖSER POLYNOM AV N-TE GRADEN MED NEWTONS
13             OCH BALRSTOWS ITERETIVA METOD ENLIGT ALGORITHM 30 I
14             COMMUNICATIONS OF THE ACM NR12 1960. MODIFIERAT OCH
15             ÖVERFÖRT TILL GE-ALGOL 25.8-65 WS;
16
17             'BEGIN'  'INTEGER' I,J, NK;
18                     'REAL'  T,K,REV,M ;
19                     'EXTENDED' REAL' P,Q,S,PS,QS,PT,QT,R ;
20                     'EXTENDED' REAL' 'ARRAY' H,B,C,D,E,RK,IK(-2:N);
21                     'PROCEDURE' MULCOX(A,B,C,D,E,F);
22                     'VALUE' A,B,C,D,E;
23                     'INTEGER' E;
24                     'EXTENDED' REAL' A,B,C,D;
25             'BEGIN'  'IF' E 'EQ' 1 'THEN'      F := A*C-B*D 'ELSE'      F := A*D+B*C ;
26             'END'    MULCOX;
27
28                     B(-1) := B(-2) := C(-1) := C(-2) := D(-1) := E(-1) := H(-1) := 0;
29                     'FOR' J := 0 'STEP' 1 'UNTIL' N 'DO' H(J) := A(J);
30                     T := 1; K := 10**F; NK := N;
31             ZEROTEST: 'IF' H(N) 'EQ' 0 'THEN'
32             'BEGIN'  U(N) := 0; V(N) := 0; N := N-1;
33                     'IF' N 'EQ' 0 'THEN' 'GOTO' KONTROLL ;
34                     'GOTO' ZEROTEST;
35             'END' ;
36             INIT:   'IF' N 'EQ' 0 'THEN' 'GOTO' KONTROLL ;
37                     PS := QS := PT := QT := S := 0 ; M := 0 ;
38
39                     REV := 1 ; K := 10**F ;
40                     'IF' N 'EQ' 1 'THEN'
41             'BEGIN'  R := -H(1)/H(0);
42                     'GOTO' LINEAR;
43             'END' ;
44
45                     I := ENTIER(N/2) ;
46                     'IF' N/2 'GR' I 'THEN'
47             'BEGIN'  J := 0 ;
48                     L1: 'IF' H(J) 'EQ' 1 'THEN' J := J+1 'ELSE' 'GOTO' L2 ;
49                     'IF' J 'EQ' N 'THEN'
50             'BEGIN'  R := -1;
51                     'GOTO' ITERATE;
52             'END' ;
53                     'GOTO' L1;

```

21584 01 08-22-67

600 ALGOL COMPILER, PASS 1

```

53      L2:  'FOR' J:=0 'STEP' 1 'UNTIL' N 'DO'
54          'IF' H(J) 'NQ' 0 'THEN'
55      'BEGIN' S:=S+LN(ABS(H(J)));
56          M := M+1 ;
57      'END';
58          S:=EXP(S/M);
59          'FOR' J := 0 'STEP' 1 'UNTIL' N 'DO' H(J) := H(J)/S ;
60          'IF' ABS (H(1)/H(0)) 'LS' ABS (H(N-1)/H(N)) 'THEN'
61      REVERSE:
62      'BEGIN' T:=-T; M:=ENTIER((N-1)/2);
63          'FOR' J:=0 'STEP' 1 'UNTIL' M 'DO'
64      'BEGIN' S:=H(J); H(J):=H(N-J); H(N-J):=S;
65      'END' ;
66      'END' REVERSE;
67
68          'IF' QS 'NQ' 0 'THEN'
69      'BEGIN' P:=PS; Q:=QS;
70          'GOTO' ITERATE;
71      'END';
72          'IF' H(N-2) 'EQ' 0 'THEN'
73      'BEGIN' Q:=1; P:=2;
74      'END'
75      'ELSE'
76      'BEGIN' Q:=H(N)/H(N-2);
77          P:=(H(N-1)-Q*H(N-3))/H(N-2);
78      'END';
79          'IF' N 'EQ' 2 'THEN' 'GOTO' QUADRATIC ;
80      ITERATE:
81      'FOR' I:=1 'STEP' 1 'UNTIL' 30 'DO'
82      'BEGIN' 'FOR' J:=0 'STEP' 1 'UNTIL' N 'DO'
83      'BEGIN' B(J):=H(J)-P*B(J-1)-Q*B(J-2);
84          C(J):=B(J)-P*C(J-1)-Q*C(J-2);
85      'END';
86          'IF' H(N-1) 'EQ' 0 'THEN' 'GOTO' BNTEST ;
87          'IF' B(N-1) 'EQ' 0 'THEN' 'GOTO' BNTEST ;
88          'IF' ABS(H(N-1)/B(N-1)) 'LS' K 'THEN' 'GOTO' NEWTON;
89      BNTEST:
90      'IF' B(N) 'EQ' 0 'THEN' 'GOTO' QUADRATIC ;
91      'IF' K 'LS' ABS(H(N)/B(N)) 'THEN' 'GOTO' QUADRATIC ;
92      NEWTON:
93      'FOR' J:=0 'STEP' 1 'UNTIL' N 'DO'
94      'BEGIN' D(J):=H(J)+R*D(J-1);
95          E(J):=D(J)+R*E(J-1);
96      'END' ;
97          'IF' D(N) 'EQ' 0 'THEN' 'GOTO' LINEAR ;
98          'IF' K 'LS' ABS(H(N)/D(N)) 'THEN' 'GOTO' LINEAR;
99          C(N-1):=P*C(N-2)-Q*C(N-3);
100         S:=C(N-2)**2-C(N-1)*C(N-3);
101         'IF' S 'EQ' 0 'THEN'
102         'BEGIN' P:=P-2; Q :=Q*(Q+1);
103         'END'
104         'ELSE'
105         'BEGIN' P:=P+(B(N-1)*C(N-2)-B(N)*C(N-3))/S;
106             Q:=Q+(-B(N-1)*C(N-1)+B(N)*C(N-2))/S;
107         'END';

```

21584 01 08-22-67

600 ALGOL COMPILER, PASS 1

```

105      'IF' E(N=1) 'EQ' 0 'THEN' R := R-1
106      'ELSE' R:=R-D(N)/E(N-1);
107      QS:=QT;
108      'END' ITERATE;
109
110      PS:=PT; QS:=QT; PT:=P; QT:=Q;
111      'IF' REV 'LS' 0 'THEN' K:=K/10;
112      'IF' K 'LO' 1000 'THEN' 'GOTO' DIV;
113      REV:=-REV;
114      'GOTO' REVERSE;
115      LINEAR: 'IF' T 'LS' 0 'THEN' R := 1/R ;
116      U(N) := R ; V(N) := 0 ; N := N-1 ;
117      'FOR' J := 0 'STEP' 1 'UNTIL' N 'DO' H(J) := D(J) ;
118      'IF' N 'EQ' 0 'THEN' 'GOTO' KONTROLL ;
119      'GOTO' ITERATE ;
120      QUADRATIC: 'IF' T 'LS' 0 'THEN'
121      'BEGIN' P:=P/Q; Q:=1/Q;
122      'END' ; M := Q-(P/2)**2 ;
123      'IF' 0 'LS' M 'THEN'
124      'BEGIN' U(N):=U(N=1):=-P/2;
125      S := SQRT(M) ;
126      V(N):=S; V(N-1):=-S;
127      'ELSE'
128      'BEGIN' S:=SQRT((P/2)**2-Q);
129      'IF' P 'LS' 0 'THEN' U(N):= -P/2+S
130      'ELSE' U(N):=-P/2-S;
131      U(N-1) := Q/U(N) ;
132      V(N):=V(N=1):=0;
133      'END';
134      N:=N-2;
135      'FOR' J:=0 'STEP' 1 'UNTIL' N 'DO'
136      H(J):=3(J);
137      'GOTO' INIT;
138
139      KONTROLL: 'COMMENT' KONTROLLRÄKNING AV ROOTPOLYS FRAMRÄKNADE RÖTTER;
140      'FOR' I:=1 'STEP' 1 'UNTIL' NK 'DO'
141      'BEGIN' KO(I):=D(0):=P:=S:=0 ;
142      C(0):=1; C(1):=U(I); D(1):=V(I);
143      'FOR' J:=1 'STEP' 1 'UNTIL' NK-1 'DO'
144      'BEGIN' MULCOX(C(J), D(J), U(I), V(I), 1, E(I));
145      C(J+1):=E(I);
146      MULCOX(C(J), D(J), U(I), V(I), 2, E(I));
147      D(J+1):=E(I);
148      'END';
149      J:=NK;
150      'FOR' M:=0 'STEP' 1 'UNTIL' NK 'DO'
151      'BEGIN' P:=A(M)*C(J)+P;
152      S:=A(M)*D(J)+S;
153      J := J-1 ;
154      'END';
155      RK(I):=P; IK(I):=S;
156      KO(I):=SQRT(P*P+S*S);

```

21584 01 08-22-67

600 ALGOL COMPILER, PASS 1

```

157      'END'      KONTROLL;
158      'END'      ROOTPOLY;
159      T1:=0.125; T2:=0.08; K1:= 1.0;
160      P1:=3.1415927; A:=0.07; A1:=-8.3;
161      B:=0.16;
162      N:=4; F:=10;
163      'FOR' T3:= 0.1,11,200,1'STEP'20'UNTIL'90'DO'
164      'FOR' K2:=0.001,0.0005,0.0001,0.00005,0.00001,0'DO'
165      'BEGIN'
166      B1:=A1*K2;
167      A3:=T3*T2*T1;
168      B3:=T3*(T1+T2)+T1*T2;
169      C3:=T3+T1+T2;
170      D3:=T3*T1*B1+B3;
171      E3:=K1*B*T2;
172      F3:=B1*(T1+T3)+C3;
173      G3:=K1*B;
174      H3:=B1+1;
175      A4:=D3*A**2+A*A3*(B3**2-2*C3*A3)-
176      A**2*A3**2*(A3*A+D3);
177      B4:=A*A3*(A3*A+D3)*(C3**2-2*B3)-
178      A3**2;
179      D4:=A3*(A3*A+D3)-A*A3**2;
180      G4:=A**2;
181      H4:=A**2*A3*(B3**2-2*C3*A3)+A**3*D3;
182      I4:=A;
183      R4:=A*A3*D3*(A3*A+D3);
184      J4:=2*A3*A**2*D3*(A3*A+D3)-2*
185      A3*A**2*(A3*A+D3)**2;
186      K4:=-2*A*A3**2;
187      L4:=2*A*A3*(A3*A+D3)-4*A**2*A3**2;
188      M4:=2*A**2*A3*(A3*A+D3)-2*A**3*A3**2;
189      Q4:=2*A**3*A3*D3*(A3*A+D3);
190      A5:=E3**2*G3*G4+E3*G3**2*I4;
191      B5:=G3**2*A4+(E3**2*H3+2*E3*F3*G3)*G4
192      +E3*G3*H4+(G3**2*F3+2*E3*G3*H3)*I4;
193      C5:=2*G3*H3*A4+G3*B4+E3*D4+(2*E3*
194      F3*H3+F3**2*G3)*G4+(F3*G3+E3*H3)*
195      H4+(E3*H3**2+2*F3*G3*H3)*I4;
196      D5:=H3**2*A4+H3*B4+F3*D4+F3**2*H3*
197      G4+F3*H3*H4+F3*H3**2*I4+R4;
198      E5:=G3**3*K4+E3*G3**2*L4+E3**2*G3*M4;
199      F5:=G3**2*J4+3*G3**2*H3*K4+(F3*G3**2
200      +2*E3*G3*H3)*L4+(E3**2*H3+2*
201      E3*F3*G3)*M4+E3*G3*Q4;
202      G5:=2*G3*H3*J4+3*G3*H3**2*K4+(2*
203      F3*G3*H3+E3*H3**2)*L4+(2*E3*F3*
204      H3+G3*F3**2)*M4+(E3*H3+F3*G3)*Q4;
205      H5:=H3**2*J4+H3**3*K4+F3*H3**2*L4+
206      F3**2*H3*M4+F3*H3*Q4;
207      B6:=A5*F5-B5*E5;
208      C6:=2*(A3*G5-C5*E5);
209      D6:=3*A5*H5+B5*G5-C5*F5-3*E5*D5;

```

ASS.kod

30 avg. 17.59

```

*
beg *eql /10000
      org /100
      gen 15
      nop
140000100 140000100
000100 26200000 26200000
000101 26200000 26200000
000102 26200000 26200000
000103 26200000 26200000
000104 26200000 26200000
000105 26200000 26200000
000106 26200000 26200000
000107 26200000 26200000
000110 26200000 26200000
000111 26200000 26200000
000112 26200000 26200000
000113 26200000 26200000
000114 26200000 26200000
000115 26200000 26200000
000116 26200000 26200000
000117 14010000 14010000      bru beg
140010000 140010000      org /10000
010000 25030000 25030000      iai          program interrupt
010001 25072100 25072100      jne ais
010002 14010114 14040112      bru fell
010003 00010137 00040134      lda sewh      sean eommand
010004 25042100 25042100      out ais
010005 25062100 25062100      jnr ais
010006 14010010 14040002      bru *+2
010007 14010005 14077776      bru *-2
010010 25052100 25052100      in ais        inputing h1
010011 05014046 05014046      sra 6
010012 74020027 74020027      flo 23
010013 32010150 32040135      sta ha
010014 25072100 25072100      jne ais
010015 14010114 14040077      bru fell
010016 00010140 00040122      lda sewhh     sean eommand
010017 25042100 25042100      out ais
010020 25062100 25062100      jnr ais
010021 14010023 14040002      bru *+2
010022 14010020 14077776      bru *-2
010023 25052100 25052100      in ais        inputing h2
010024 05014046 05014046      sra 6
010025 74020027 74020027      flo 23
010026 32010200 32040152      sta hha
*
*
*
010027 07300026 07300026      lxx 22,3
010030 00310150 00340120      h1 lda ha,3
010031 32310151 32340120      sta hb,3
010032 06000003 06000003      dmt 3
010033 34010030 34077775      bts h1
010034 07300002 07300002      lxx 2,3
010035 00310200 00340143      h2 lda hha,3      loop h2
010036 32310201 32340143      sta hhb,3
010037 06000003 06000003      dmt 3
010040 34010035 34077775      bts h2
010041 07300013 07300013      lxx 11,3
010042 00310204 00340142      h0 lda a,3      loop h0
010043 32310205 32340142      sta b,3
010044 06000003 06000003      dmt 3
010045 34010042 34077775      bts h0
*
*
now starts the cou
control signal h0

```


010046	05000000	05000000	ldz	
010047	32010147	32040100	sta sum	
010050	07300002	07300002	lxx 2,3	
010051	00310201	00340130	del1 lda hhb,3	loop h2*f
010052	72310237	72340165	fmp fb,3	
010053	70010147	70040074	fad sum	
010054	32010147	32040073	sta sum	
010055	06000003	06000003	dmt 3	
010056	34010051	34077773	bts del1	
010057	07300015	07300015	lxx 13,3	
010060	00310162	00340102	del2 lda hk,3	loop h1*j
010061	72310221	72340140	fmp jk,3	
010062	70010147	70040065	fad sum	
010063	32010147	32040064	sta sum	
010064	06000003	06000003	dmt 3	
010065	34010060	34077773	bts del2	
010066	07300013	07300013	lxx 11,3	
010067	00310205	00340116	del3 lda b,3	loop h0*g
010070	72310243	72340153	fmp gb,3	
010071	70010147	70040056	fad sum	
010072	32010147	32040055	sta sum	
010073	06000003	06000003	dmt 3	
010074	34010067	34077773	bts del3	
010075	73010242	73040145	fdv ga	div g0
010076	32010204	32040106	sta a	
010077	70010146	70040047	fad fsv	scalef
010100	72010141	72040041	fmp seal1	
010101	72010142	72040041	fmp seal2	
010102	74000027	74000027	fix 23	
010103	45002056	45002056	sla 14	
010104	11010136	11040032	add modo	output
010105	25074200	25074200	jne mod	
010106	14010117	14040011	bru fel2	
010107	25044200	25044200	out mod	
010110	25020000	25020000	pai	program interrupt
010111	26200000	26200000	nop	
010112	26200000	26200000	nop	
010113	14010111	14077776	bru *-2	
* explanation of blink				
010114	00010143	00040027	fel1 lda tresme	
010115	32010145	32040030	sta inlite	
010116	14010121	14040003	bru blink	
010117	00010144	00040025	fel2 lda sietes	
010120	32010145	32040025	sta inlite	
010121	00010145	00040024	blink lda inlite	
010122	07707777	07707777	lxx /7777,7	
010123	26200000	26200000	nop	
010124	26200000	26200000	nop	
010125	06000007	06000007	dmt 7	
010126	34010123	34077775	bts *-3	
010127	05000000	05000000	ldz	
010130	07707777	07707777	lxx /7777,7	
010131	26200000	26200000	nop	
010132	26200000	26200000	nop	
010133	06000007	06000007	dmt 7	
010134	34010131	34077775	bts *-3	
010135	14010121	14077764	bru blink	
010136	00000004	00000004	modo eon o,4	labels
010137	00000204	00000204	sewh eon o,204	
010140	00000404	00000404	sewhh eon o,404	
010141	17202665	17202665	seal1 eon f,0.1277875	
010142	20367260	20367260	seal2 eon f,0.9661836	
010143	00007777	00007777	tresme eon o,7777	
010144	77777777	77777777	sietes eon o,77777777	
010145	30000001	30000001	inlite bss 1	
010146	26372000	26372000	fsv eon f,4000	
010147	30000001	30000001	sum bss 1	
010150	30000001	30000001	ha bss 1	
010151	30000011	30000011	hb bss 9	
010162	30000016	30000016	hk bss 14	

010200	300000001	300000001	hha	bss	1
010201	300000003	300000003	hhb	bss	3
010204	300000001	300000001	a	bss	1
010205	300000014	300000014	b	bss	12
010221	300000016	300000016	jk	bss	14
010237	300000003	300000003	fb	bss	3
010242	300000001	300000001	ga	bss	1
010243	300000014	300000014	gb	bss	12
			ais	eq1	/2100
			mod	eq1	/4200
				end	

*00000000 *00000000

```
*
140010221 140010221      org /10221
010221 20327024 20327024 eon f,0.840
010222 60654632 60654632 eon f,-1.350
010223 20202437 20202437 eon f,0.510
010224 00000000 00000000 eon f,0
010225 00000000 00000000 eon f,0
010226 00000000 00000000 eon f,0
010227 00000000 00000000 eon f,0
010230 00000000 00000000 eon f,0
010231 00000000 00000000 eon f,0
010232 00000000 00000000 eon f,0
010233 00000000 00000000 eon f,0
010234 56335136 56335136 eon f,-0.054
010235 16660102 16660102 eon f,0.086
010236 56207126 56207126 eon f,-0.033_
010237 16603045 16603045 eon f,0.064
010240 56722743 56722743 eon f,-0.103
010241 16237575 16237575 eon f,0.039 _
010242 17257065 17257065 eon f,0.171
010243 17223351 17223351 eon f,0.144
010244 00000000 00000000 eon f,0
010245 00000000 00000000 eon f,0
010246 00000000 00000000 eon f,0
010247 00000000 00000000 eon f,0
010250 00000000 00000000 eon f,0
010251 00000000 00000000 eon f,0
010252 00000000 00000000 eon f,0
010253 00000000 00000000 eon f,0
010254 00000000 00000000 eon f,0
010255 55264163 55264163 eon f,-0.011
010256 55223351 55223351 eon f,-0.009
*00000000 *00000000 end
```

```

*
beg *eql /10000
    org /100
    gen 15
    nop
    bru beg
    org /10000
    ial                                program interrupt inhibited mode
    jne ais
    bru fell
    lda sewh                            sean eommand
    out ais
    jnr ais
    bru *+2
    bru *-2
    in ais                                inputing h1
    sra 6
    flo 23
    sta ha
    jne ais
    bru fell
    lda sewhh                            sean eommand
    out ais
    jnr ais
    bru *+2
    bru *-2
    in ais                                inputing h2
    sra 6
    flo 23
    sta hha

*                                inputing of h1 and h2 is ready
*                                now starts the moving of the input
*                                values and h0
h1 lxx 22,3
    lda ha,3
    sta hb,3
    dmt 3
    bts h1
h2 lxx 2,3
    lda hha,3                            loop h2
    sta hhb,3
    dmt 3
    bts h2
h0 lxx 11,3
    lda a,3                              loop h0
    sta b,3
    dmt 3
    bts h0

*                                now starts the counting of the
*                                control signal h0
ldz
sta sum
lxx 2,3
del1 lda hhb,3                            loop h2*f
    fmp fb,3
    fad sum
    sta sum
    dmt 3
    bts del1
del2 lxx 13,3
    lda hk,3                            loop h1*j
    fmp jk,3
    fad sum
    sta sum
    dmt 3
    bts del2
    lxx 11,3

```

```

del3   lda b,3          loop h0*g
      fmp gb,3
      fad sum
      sta sum
      dmt 3
      bts del3
      fdv ga          div g0
      sta a
      fad fsv        sealef
      fmp seall
      fmp seal2
      fix 23
      sla 14
      add modo      output
      jne mod
      bru fel2
      out mod
      pai          program interrupt permitted mode
      nop
      nop
      bru *-2

```

* explanation of blinking

```

fel1   lda tresme
      sta inlite
      bru blink
fel2   lda sietes
      sta inlite
blink  lda inlite
      lxx /7777,7
      nop
      nop
      dmt 7
      bts *-3
      ldz
      lxx /7777,7
      nop
      nop
      dmt 7
      bts *-3
      bru blink

```

```

modo   eon o,4          labels
sewh   eon o,204
sewhh  eon o,404
seall  eon f,0.1277875
seal2  eon f,0.9661836
tresme eon o,7777
sietes eon o,77777777
inlite bss 1
fsv    eon f,4000
sum    bss 1
ha     bss 1
hb     bss 9
hk     bss 14
hha   bss 1
hhb   bss 3
a     bss 1
b     bss 12
jk    bss 14
fb    bss 3
ga    bss 1
gb    bss 12
ais   eql /2100
mod   eql /4200
end

```


32608 01 10-24-67

600 ALGOL COMPILER, PASS 1

```

1      'BEGIN'      'INTEGER' R,P,Z;
2                  'REAL' A0,A1,A2,A3,A4,A5,A6,B1,B0,B2,
3                  B3,B4,C1,C2,D0,D1,D2,D3,X,H40,H41,
4                  H50,H51,H6,H7,H8,K3,L0,L1,L2,M0,
5                  M1,M2,N1,N2,N3,S1,S2,S3,T,T1,V1,
6                  V3,V2,K0,K1,K2;
7                  'ARRAY' E(1:10),F(0:2),G(0:12),
8                  H0(0:12),H1(0:13),H2(0:2),
9                  H3(0:2),J(0:13);
10                 H40:=H41:=H50:=H51:=H6:=H7:=H8:=0;
11                 'FOR' R:=0 'STEP' 1 'UNTIL' 2 'DO'
12                 F(R):=H2(R):=H3(R):=0;
13                 'FOR' R:=0 'STEP' 1 'UNTIL' 12 'DO'
14                 G(R):=H0(R):=0;
15                 'FOR' R:=1 'STEP' 1 'UNTIL' 10 'DO'
16                 E(R):=0;
17                 'FOR' R:=0 'STEP' 1 'UNTIL' 13 'DO'
18                 H1(R):=0;
19                 'FOR' R:=1 'STEP' 1 'UNTIL' 13 'DO'
20                 J(R):=0;
21                 A0:=2.5;A1:=0;A2:=2.5;
22                 A3:=0.16;A4:=0.84;A5:=0;A6:=0.17;
23                 X:=2.718; K3:=100;
24                 T:=0.05; T1:=0.1;
25                 K0:=6.5*10**(-3);
26                 K1:=0;
27                 K2:=6.5*10**(-3);
28                 B3:=X**(-T/T1);
29                 B4:=X**(-T*A2);
30                 C1:=- (1+B3);
31                 C2:=B3;
32                 V1:=C1-B4;
33                 V2:=C2-C1*B4;
34                 V3:=-C2*B4;
35                 B0:=A3*K3*(T+T1*(B3-1));
36                 B1:=A3*K3*(T1*(1-B3)-T*B3)-B0*B4;
37                 B2:=-A3*K3*(T1*(1-B3)-T*B3)*B4;
38                 D0:=A4;
39                 D1:=D0*V1;
40                 D2:=D0*V2;
41                 D3:=D0*V3;
42                 E(1):=C1-V1;
43                 E(2):=C2-V2-V1*E(1);
44                 E(3):=-V3-V2*E(1)-V1*E(2);
45                 E(4):=-V3*E(1)-V2*E(2)-V1*E(3);
46                 E(5):=-V3*E(2)-V2*E(3)-V1*E(4);
47                 E(6):=-V3*E(3)-V2*E(4)-V1*E(5);
48                 E(7):=-V3*E(4)-V2*E(5)-V1*E(6);
49                 E(8):=-V3*E(5)-V2*E(6)-V1*E(7);
50                 E(9):=-V3*E(6)-V2*E(7)-V1*E(8);
51                 E(10):=-V3*E(7)-V2*E(8)-V1*E(9);
52                 F(0):=-V3*E(8)-V2*E(9)-V1*E(10);

```

32608 01 10-24-67

600 ALGOL COMPILER, PASS 1.

```

53      F(1):=-V3*E(9)-V2*E(10);
54      F(2):=-V3*E(10);
55      G(0):=B0;
56      G(1):=B1+B0*E(1);
57      G(2):=B2+B1*E(1)+B0*E(2);
58      G(3):=B2*E(1)+B1*E(2)+B0*E(3);
59      G(4):=B2*E(2)+B1*E(3)+B0*E(4);
60      G(5):=B2*E(3)+B1*E(4)+B0*E(5);
61      G(6):=B2*E(4)+B1*E(5)+B0*E(6);
62      G(7):=B2*E(5)+B1*E(6)+B0*E(7);
63      G(8):=B2*E(6)+B1*E(7)+B0*E(8);
64      G(9):=B2*E(7)+B1*E(8)+B0*E(9);
65      G(10):=B2*E(8)+B1*E(9)+B0*E(10);
66      G(11):=B2*E(9)+B1*E(10);
67      G(12):=B2*E(10);
68      J(0):=D0;
69      J(1):=D1+D0*E(1);
70      J(2):=D2+D1*E(1)+D0*E(2);
71      J(3):=D3+D2*E(1)+D1*E(2)+D0*E(3);
72      J(4):=D3*E(1)+D2*E(2)+D1*E(3)+D0*E(4);
73      J(5):=D3*E(2)+D2*E(3)+D1*E(4)+D0*E(5);
74      J(6):=D3*E(3)+D2*E(4)+D1*E(5)+D0*E(6);
75      J(7):=D3*E(4)+D2*E(5)+D1*E(6)+D0*E(7);
76      J(8):=D3*E(5)+D2*E(6)+D1*E(7)+D0*E(8);
77      J(9):=D3*E(6)+D2*E(7)+D1*E(8)+D0*E(9);
78      J(10):=D3*E(7)+D2*E(8)+D1*E(9)+D0*E(10);
79      J(11):=D3*E(8)+D2*E(9)+D1*E(10);
80      J(12):=D3*E(9)+D2*E(10);
81      J(13):=D3*E(10);
82      OUTPUT0(6,"//E-KONSTANTER\\");
83      OUTPUT3(6,"\\,E(1),E(2),E(3),E(4),E(5));
84      OUTPUT3(6,"\\,E(6),E(7),E(8),E(9),E(10));
85      OUTPUT0(6,"//F-KONSTANTER\\");
86      OUTPUT3(6,"\\,F(0),F(1),F(2));
87      OUTPUT0(6,"//G-KONSTANTER\\");
88      OUTPUT7(6,"\\,G(0),G(1),G(2),G(3),G(4),G(5),G(6));
89      OUTPUT6(6,"\\,G(7),G(8),G(9),G(10),G(11),G(12));
90      OUTPUT0(6,"//I-KONSTANTER\\");
91      OUTPUT7(6,"\\,J(0),J(1),J(2),J(3),J(4),J(5),J(6));
92      OUTPUT7(6,"\\,J(7),J(8),J(9),J(10),J(11),J(12),J(13));
93      P:=0;
94      Z:=0;
95      DIT:  H6:=RNORM(0,1);           (0, 11.7)
96           H7:=RNORM(0,1);
97           H8:=RNORM(0,1);           (0, 11.7)
98           N1:=K3*T+K3*T1*(C2-1);
99           N2:=K3*T1*(1-C2)-K3*T*C2;
100          N3:=1+C2;
101          L0:=X**(-T*H0);
102          L1:=X**(-T*H1);
103          L2:=X**(-T*H2);
104          M0:=(1-L0)*K0;

```


32608 01 10-24-67

600 ALGOL COMPILER, PASS 1

```

105      M1:=(1-L1)*K1;
106      M2:=(1-L2)*K2;
107      H1(0):=M0*H6+L0*H1(1);
108      H3(0):=N2*H0(2)+N1*H0(1)-C2*H3(2)+N3*H3(1);
109      H40:=M1*H7+L1*H41;
110      H50:=M2*H8+L2*H51;
111      H2(0):=A4*H1(1)+A5*H40+A6*H50+A3*H3(0);
112      S1:=0;
113      'FOR' R:=0 'STEP' 1 'UNTIL' 2 'DO'
114      S1:=S1+F(R)*H2(R);
115      S2:=0;
116      'FOR' R:=0 'STEP' 1 'UNTIL' 13 'DO'
117      S2:=S2+J(R)*H1(R);
118      S3:=0;
119      'FOR' R:=1 'STEP' 1 'UNTIL' 12 'DO'
120      S3:=S3+G(R)*H0(R);
121      H0(0):=(-1/G(0))*(S1+S2+S3);
122      OUTPUT0(6,"/>\);
123      OUTPUT7(6,"\",P,H0(0),H1(1),H2(0),
124      H3(0),H40,H50);
125      'FOR' R:=2 'STEP' -1 'UNTIL' 1 'DO'
126      H2(R):=H2(R-1);
127      'FOR' R:=2 'STEP' -1 'UNTIL' 1 'DO'
128      H3(R):=H3(R-1);
129      'FOR' R:=13 'STEP' -1 'UNTIL' 1 'DO'
130      H1(R):=H1(R-1);
131      'FOR' R:=12 'STEP' -1 'UNTIL' 1 'DO'
132      H0(R):=H0(R-1);
133      H41:=H40;
134      H51:=H50;
135      P:=P+1;
136      'IF' P 'GR' 200 'THEN' 'GOTO' NER;
137      'GOTO' DIT;
138      NER:      A2:=A6:=K2:=0;
139      'IF' Z 'GR' 0 'THEN' 'GOTO' SLUT;
140      P:=0;
141      Z:=1;
142      'GOTO' DIT;
143      SLUT: 'END'

```

21584 01 08-22-67

600 ALGOL COMPILER, PASS 1

```

209      E6:=2*(B5*H5-D5*F5) ;
210      F6:=C5*H5-D5*G5 ;
211      OUTPUT0(6,"//T3,K2\\");
212      OUTPUT2(6,"(-4ZD.3D)\,T3,K2);
213      OUTPUT0(6,"//SPRIDNINGSKOEFF.  \\) ;
214      OUTPUT3(6,"\\,A5,B5,C5,D5,E5,F5,G5,H5);
215      OUTPUT0(6,"//KOEFF. FÖR OPT. AV K3\\");
216      OUTPUT3(6,"\\,B6,C6,D6,E6,F6);
217      S(0):=36; S(1):=C6; S(2):=D6;
218      S(3):=E6; S(4):=F6;
219      ROOTPOLY(N,S,F,U,V,K0,DIV);
220      OUTPUT0(6,"///ROTENS REALDEL, K3 \\");
221      OUTPUT4(6,"\\,U(1),U(2),U(3),U(4));
222      OUTPUT0(6,"//ROTENS IMAGINÄRDEL\\");
223      OUTPUT4(6,"\\,V(1),V(2),V(3),V(4));
224      'FOR' M:= 1 'STEP' 1 'UNTIL' 4 'DO'
225      'BEGIN' EH2:= 2*PI*A**2*(U(M)**3*A5+U(M)**2*B5+U(M)*C5+D5)/
226      (U(M)**3*E5+U(M)**2*F5+U(M)*G5+H5);
227      K3:= U(M);
228      X:=D3;
229      Z:=G3*K3+H3;
230      Y:=F3*K3+E3-(A3*Z)/D3;
231      'IF' X!LQ'0 'THEN' 'GOTO' P;
232      'IF' Y!LQ'0 'THEN' 'GOTO' P;
233      'IF' Z!LQ'0 'THEN' 'GOTO' P;;
234      OUTPUT0(6,"//SPRIDNINGEN EH2 'EQ' \\");
235      OUTPUT1(6,"\\,EH2);
236      'GOTO' Q;
237      P:  OUTPUT0 (6,"//SYSTEMET EJ STABILT\\");
238      Q:  'END';
239      'GOTO' L;
240      DIV: OUTPUT0(6,"//DIVERGENS I ROOTPOLY \\");
241      L:  'END';
242      'END'

```